

**KARAKTERISASI NANOHIKROKSIPATIT DARI
CANGKANG TELUR MENGGUNAKAN UJI SEM DAN XRD**



**Diajukan untuk memenuhi salah satu syarat meraih gelar
Sarjana Sains Jurusan Fisika
Pada Fakultas Sains dan Teknologi
UIN Alauddin Makassar**

Oleh

NURSANDI SANDEWI

NIM. 60400113018

UNIVERSITAS ISLAM NEGERI
ALAUDDIN
M A K A S S A R

**FAKULTAS SAINS DAN TEKNOLOGI
UIN ALAUDDIN MAKASSAR
2017**

PERNYATAAN KEASLIAN SKRIPSI

Saya yang bertanda tangan dibawah ini:

Nama : Nursandi Sandewi

NIM : 60400113018

Judul Skripsi : **“Karakterisasi Nanohidroksiapatit dari Cangkang Telur menggunakan SEM dan XRD”**

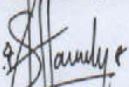
menyatakan dengan sebenarnya bahwa penulisan skripsi ini berdasarkan hasil penelitian, pemikiran dan pemaparan asli dari saya sendiri. Jika terdapat karya orang lain, saya akan mencantumkan sumber secara jelas.

Demikian pernyataan ini saya buat dengan sesungguhnya dan apabila dikemudian hari terdapat penyimpangan dan ketidakbenaran dalam pernyataan ini, maka saya bersedia menerima sanksi akademik berupa pencabutan gelar yang telah diperoleh karena karya tulis ini dan sanksi lain sesuai dengan peraturan yang berlaku di Universitas Islam Negeri (UIN) Alauddin Makassar .

Demikian pernyataan ini saya buat dalam keadaan sadar dan tanpa paksaan dari pihak manapun.

Samata Gowa, 20 November 2017

Yang membuat pernyataan,


Nursandi Sandewi
NIM.60400113018

PENGESAHAN SKRIPSI

Skripsi yang berjudul "*Karakterisasi Nanohidroksiapatit dari Cangkang Telur menggunakan Uji SEM dan XRD*" yang disusun oleh saudari **NURSANDI SANDEWI**, Nim: 60400113018 Mahasiswi Jurusan Fisika Fakultas Sains dan Teknologi UIN Alauddin Makassar, telah diuji dan dipertahankan dalam ujian sidang munaqasyah yang diselenggarakan pada hari Senin, 27 November 2017 M, bertepatan dengan 8 Rabi'ul Awwal 1439 H dinyatakan telah dapat diterima sebagai salah satu syarat untuk meraih gelar sarjana dalam ilmu Fisika, Jurusan Fisika (dengan beberapa perbaikan).

Gowa, 27 November 2017

8 Rabi'ul Awwal 1439 H

DEWAN PENGUJI

Ketua	: Prof. Dr. H. Arifuddin, M.Ag.	(.....)
Sekretaris	: Ihsan, S.Pd., M.Si.	(.....)
Munaqisy I	: Hernawati, S.Pd., M.Pfis.	(.....)
Munaqisy II	: Dr. Muhammad Sabir, M.Ag.	(.....)
Pembimbing I	: Iswadi, S.Pd., M.Si.	(.....)
Pembimbing II	: Sri Zelviani, S.Si., M.Sc.	(.....)

Diketahui oleh:

Dekan Fakultas Sains dan Teknologi
UIN Alauddin Makassar



Prof. Dr. H. A. Arifuddin, M.Ag.

NIP : 19691205 199303 1 001

KATA PENGANTAR

Puji syukur kami panjatkan kehadirat Allah SWT, pemberi kehidupan dan rahmat bagi seluruh manusia dibuka bumi ini, Sang Maha Pencipta dan Pengatur Alam Semesta. Berkat rahmat dan karunia-Nya serta kesempatan yang diberikan kepada kami sehingga kami dapat menyelesaikan skripsi ini yang berjudul **“KARAKTERISASI NANOHIKROKSIPATIT DARI CANGKANG TELUR MENGGUNAKAN SEM DAN XRD”**. Skripsi ini membahas mengenai pemanfaatan limbah cangkang telur yang akan diubah menjadi material nanohidroksiapatit yang kemudian akan diuji karakterisasinya menggunakan SEM dan XRD. Skripsi ini disusun sebagai salah satu syarat untuk meraih gelar pada program Strata-I di Jurusan Fisika, Fakultas Sains dan Teknologi, UIN Alauddin Makassar.

Penulis menyadari dibalik terselesaikannya skripsi ini, tidak terlepas dari hambatan dan rintangan. Namun, berkat pertolongan dari Allah SWT serta do'a dan dukungan dari berbagai pihak sehingga skripsi ini terselesaikan. Oleh karena itu, penulis hendak mengucapkan banyak terima kasih kepada pihak –pihak yang telah membantu serta memberi semangat dari awal hingga terselesaikannya skripsi ini, dan kepada :

1. Kedua orang tua terkasih dan tercinta Ayahanda **Misbahuddin** dan Ibunda **Nurwahidah**, yang selalu menjadi penyemangat sekaligus sumber semangat penulis dan yang tak henti – hentinya selalu berdoa untuk kesuksesan penulis.
2. Bapak **Prof. Dr. H. Musafir, M.Si** selaku Rektor Universitas Islam Negeri Alauddin Makassar periode 2015-2020 serta Wakil Rektor I, Wakil Rektor II

dan Rektor Dekan III yang telah memberikan andil dalam melanjutkan pembangunan UIN Alauddin Makassar dan memberikan fasilitas guna kelancaran studi bagi mahasiswa.

3. Bapak **Prof. Dr. H. Arifuddin, M.Ag** selaku Dekan Fakultas Sains dan Teknologi Universitas Islam Negeri (UIN) Alauddin Makassar periode 2015-2019, Wakil Dekan I, Wakil Dekan II dan Wakil Dekan III atas andilnya dalam pencapaian gelar sarjana bagi mahasiswa lingkup fakultas.
4. Ibunda **Sahara, S.Si., M.Sc., Ph.D**, selaku Ketua Jurusan Fisika, Fakultas Sain dan Teknologi UIN Alauddin Makassar yang telah membantu dan memberi dorongan dalam pencapaian gelar untuk mahasiswa jurusan fisika.
5. Bapak **Iswadi, S.Pd., M.Si**, selaku pembimbing I, yang telah mencurahkan dan mengikhhlaskan waktu dan ilmunya untuk membimbing serta mendampingi penulis, serta dengan penuh kesabaran mendengarkan keluh kesah penulis hingga skripsi ini terselesaikan.
6. Ibu **Sri Zelviani, S.Si., M.Sc**, selaku pembimbing II, yang telah mencurahkan ilmu dan waktu untuk membimbing penulis serta mendengarkan segala keluh kesah penulis dengan penuh kesabaran, sehingga penulis dapat menyelesaikan skripsi ini.
7. Ibu **Hernawati, S.Pd., M.Pfis** dan Bapak **Dr. Muhammad Sabir, M.Ag**, selaku penguji I dan II yang telah memberikan kritikan dan saran yang membangun untuk perbaikan skripsi ini.

8. Bapak **Ihsan, S.Pd., M.Si** selaku Pembimbing Akademik (PA), yang telah memberikan masukan-masukan selama masa perkuliahan baik dalam pengurusan KRS maupun hal lainnya.
9. Dosen Pengajar Jurusan Fisika, Bapak **Muh. Said. L, S.Si., M.Pd**, Ibu **Rahmaniah, S.Si., M.Si**, Ibu **Ayusari Wahyuni, S.Si., M.Sc**, Ibu **Nurul Fuadi, S.Si., M.Pd**, Ibu **Ria Rezki Hamzah, S.Pd., M.Si**, dan dosen lainnya yang telah mencurahkan tenaga, pikiran, dan waktunya untuk membimbing dan membagi ilmu pengetahuan yang dimiliki kepada mahasiswa selama dibangku kuliah serta kepada staf administrasi jurusan fisika kakanda **Hadiningsih S.E** yang selalu mengurus berbagai administrasi yang diperlukan selama proses pencapaian gelar mahasiswa jurusan fisika.
10. Bapak **Mukhtar, S.T., MT**, Bapak **Abdul Mun'im, S.T., MT**, Kak **Ahmad Yani, S.Si**, Kak **Nurhaisah, S.Si** sebagai laboran yang telah membantu selama praktikum di Laboratorium Fisika Fakultas Sains dan Teknologi.
11. Bapak dan Ibu Biro Akademik yang ada dalam lingkungan Fakultas Sains dan Teknologi yang selalu siap dan sabar melayani penulis dalam pengurusan berkas akademik.
12. Bapak **Sugeng** dan kak **Heriyanto**, selaku pembimbing yang dengan sabar mengarahkan peneliti selama melakukan penelitian di laboratorium kimia fisika Universitas Hasanuddin serta dalam melakukan karakterisasi menggunakan uji XRF dan XRD.
13. Keluarga besar serta kerabat – kerabatku yang selalu mendoakan kelancaran dari segala urusan penulis.

14. Keluarga besar **Asas 13lack**, sahabat – sahabat tercinta, **Agusanjaya**, para senior dan junior yang telah menemani penulis serta menjadi penyemangat dan sebagai pendengar keluh kesah selama penyusunan proposal ini. Terima kasih atas semuanya, semoga persahabatan kita akan terus terjalin. Amin

Semoga Allah SWT senantiasa membalas kebaikan kalian dengan balasan yang berlipat ganda. Penulis menyadari dalam skripsi ini tak luput dari berbagai kekurangan. Oleh karena itu, penulis mengharapkan adanya saran dan kritikan yang membangun demi kesempurnaan penulisan skripsi ini sehingga hasil tulisan ini memiliki manfaat khususnya untuk penulis sendiri serta siapapun yang membacanya.

Makassar, November 2017

Penyusun



DAFTAR ISI

JUDUL	
PERNYATAAN KEASLIAN SKRIPSI.....	ii
LEMBAR PENGESAHAN SKRIPSI	iii
KATA PENGANTAR.....	iv
DAFTAR ISI	viii
DAFTAR GAMBAR.....	xi
DAFTAR TABEL	xiii
DAFTAR SIMBOL.....	xiv
DAFTAR LAMPIRAN	xv
ABSTRAK.....	xvi
<i>ABSTRACT</i>.....	xvii
BAB I PENDAHULUAN.....	1
1.1 Latar Belakang.....	1
1.2 Rumusan Masalah.....	5
1.3 Tujuan Penelitian.....	5
1.4 Ruang Lingkup Penelitian	5
1.5 Manfaat Penelitian	6
BAB II TINJAUAN TEORETIS.....	7
2.1 Tulang.....	7
2.2 Hidroksiapatit.....	10
2.3 Telur	15

2.3.1 Telur Ayam	17
2.3.2 Telur Itik	18
2.4 Kalsium Karbonat (CaCO ₃).....	20
2.5 Nanopartikel	23
2.5.1 Jenis Nanopartikel	29
2.5.2 Metode Pembuatan Nanopartikel	36
2.6 Kristal	37
2.7 <i>X-Ray Fluorescence</i> (XRF)	44
2.8 <i>X-Ray Diffraction</i> (XRD)	47
2.9 <i>Scanning Electron Microscopy</i> (SEM)	50
BAB III METODE PENELITIAN.....	54
3.1 Waktu dan Tempat Penelitian.....	54
3.2 Alat dan Bahan.....	54
3.2.1 Alat	54
3.3.2 Bahan	55
3.3 Prosedur Kerja	55
3.3.1 Preparasi Sampel Cangkang Telur Ayamdan Itik	55
3.3.2 Proses Kalsinasi.....	55
3.3.3 Proses Ultrasonikasi	56
3.3.4 Proses Presipitasi.....	56
3.3.5 Proses Penyaringan dan Pengeringan.....	58
3.4 Pengujian dan Karakterisasi	58
3.4.1 <i>X-Ray Fluorescence</i> (XRF).....	58

3.4.2 <i>X-Ray Diffraction</i> (XRD).....	59
3.4.3 <i>Scanning Electron Microscope</i> (SEM).....	60
3.5 Diagram Alir	61
BAB IV HASIL DAN PEMBAHASAN	62
4.1 Hasil Presipitasi Sampel.....	62
4.2 Hasil Uji <i>X-Ray Fluorescence</i> (XRF)	63
4.3 Hasil Uji <i>X-Ray Diffraction</i> (XRD)	65
4.4 Hasil Uji <i>Scanning Electron Microscope</i> (SEM).....	68
BAB V PENUTUP	72
DAFTAR PUSTAKA.....	73
BIOGRAFI PENULIS	
LAMPIRAN-LAMPIRAN	

DAFTAR GAMBAR

Nomor Gambar	Keterangan Gambar	Halaman
2.1	Rangka manusia	7
2.2	Kristal hidroksiapatit	10
2.3	Aplikasi kalsium ortofosfat (termasuk didalamnya HA)	13
2.4	Mode fenomena antarmuka antara HA dengan sel tubuh	14
2.5	Telur ayam	18
2.6	Telur bebek	19
2.7	Cangkang telur	21
2.8	Nanotube	30
2.9	Liposom	31
2.10	Nanopartikel lipid padat	32
2.11	Misel	33
2.12	Dendrimer	34
2.13	Perbandingan antara nanokapsul dan nanosfer	35
2.14	Jenis kristal	38
2.15	Susunan atom kristal dan <i>amorf</i>	39
2.16	Sel unit dan kisi kristal	40
2.17	Unit sel dengan sumbu koordinat, aksial dan sudut interaksial	41
2.18	Spektrometer XRF	45
2.19	Prinsip kerja XRF	46
2.20	XRD	49

Nomor Gambar	Keterangan Gambar	Halaman
2.21	Model difraksi Hukum Bragg	49
2.22	SEM	51
2.23	Skema mesin SEM	53
4.1	Hasil presipitasi nanohidroksiapatit	62
4.2	Pola XRD hidroksiapatit dari cangkang telur ayam	66
4.3	Pola XRD hidroksiapatit dari cangkang telur Itik	67
4.4	Sampel hidroksiapatit dari cangkang telur ayam	69
4.5	Sampel hidroksiapatit dari cangkang telur bebek	69



DAFTAR TABEL

Nomor Tabel	Keterangan Tabel	Halaman
2.1	Komposisi ketiga komponen pokok telur dalam persen	16
2.2	Hubungan sistem kristal dengan parameter kisi	42
3.1	Hasil pengamatan analisis unsur uji XRF	53
3.2	Hasil pengamatan analisis senyawa uji XRF	53
4.1	Hasil analisa unsur pada pengujian <i>X-Ray Flourescence</i> (XRF)	57
4.2	Hasil analisis senyawa pada pengujian <i>X-Ray Flourescence</i> (XRF)	58
4.3	Komposisi atom dan senyawa hidroksiapatit dari cangkang telur ayam	64
4.4	Komposisi atom dan senyawa hidroksiapatit dari cangkang telur bebek	65

DAFTAR SIMBOL

Simbol	Keterangan Simbol	Satuan SI/cgs
D	Ukuran kristal	nm
k	Konstanta/ketetapan (0,98)	-
β	<i>Full Width at Half Maximum</i> (FWHM)	rad
θ	Theta	degree (°)
d	Jarak kisi	nm
λ	Panjang gelombang	Å



DAFTAR LAMPIRAN

Lampiran	Keterangan Lampiran	Halaman
I	Hasil Penelitian	L1
II	Analisis Data	L19
III	Prosedur Kerja	L23
IV	SK dan Persuratan	L33



ABSTRAK

Nama : Nursandi Sandewi

NIM : 60400113018

Judul Skripsi : Karakterisasi Nanohidroksiapatit dari Cangkang Telur menggunakan Uji SEM dan XRD

Telah dilakukan penelitian pembuatan nanohidroksiapatit berbahan dasar limbah cangkang telur ayam dan cangkang telur bebek, yang bertujuan untuk mengetahui hasil karakterisasi dan membandingkan hasil karakterisasi antara cangkang telur ayam dan bebek. Metode yang digunakan pada penelitian ini adalah ultrasonikasi dan presipitasi, kemudian dilakukan karakterisasi menggunakan SEM dan XRD. Hasil penelitian menunjukkan bahwa pada cangkang telur ayam memiliki fasa hidroksiapatit pada sudut $32,16^\circ$, $33,14^\circ$, dan $49,7076^\circ$ dengan ukuran kristal berturut-turut 10,48 nm, 14,30 nm, dan 14,63 nm, sedangkan fasa hidroksiapatit pada cangkang telur bebek terdapat di sudut $32,1880^\circ$, $34,2403^\circ$ dan $49,6623^\circ$ dengan ukuran kristal berturut-turut 11,408 nm, 14,9604 nm, dan 16,7624 nm. Hidroksiapatit pada cangkang telur ayam memiliki persentase sebesar 77,5%, sedangkan pada cangkang telur bebek persentase hidroksiapatit sebesar 87,3%. Hasil karakterisasi hidroksiapatit menggunakan SEM pada cangkang telur ayam terbentuk ukuran partikel 500 nm – 5 μm , sedangkan pada cangkang telur bebek sebesar 300 nm – 1 μm .

Kata kunci : *Cangkang telur, Hidroksiapatit, ultrasonikasi, XRD, kristal*

ABSTRACT

Name : Nursandi Sandewi

NIM : 60400113018

Thesis Title : ***Characterization of Nanohydroksiapatite from Eggshell using SEM and XRD***

Has done research of making nanohydroxyapatite based on waste of chicken eggshell and duck eggshell, which aims to know the result of characterization and compare the result of characteristic between eggshell of chicken and duck. The method used in this research is ultrasonication and precipitation, then characterization using SEM and XRD. The results showed that the chicken eggshell had a hydroxyapatite phase at an angle of 32.16 °, 33.14 ° and 49.7076 ° with a crystal size of 10.48 nm, 14, 30 nm, and 14, 63 nm, respectively, while the hydroxyapatite phase in duck eggshell is located at an angle of 32.1880 °, 34.2403 ° and 49.6623 ° with a crystal size of 11.408 nm, 14.9604 nm, and 16,7624 nm, respectively. Hydroxyapatite in chicken eggshell has a percentage of 77.5%, while in eggshells duck hydroxyapatite percentage of 87.3%. The results of hydroxyapatite characterization using SEM in chicken egg shell formed particle size 500 nm - 5 µm, while in duck eggshell of 300 nm - 1 µm.

Keywords: eggshell, Hydroxyapatite, ultrasonication, XRD, crystal



BAB I

PENDAHULUAN

1.1 Latar Belakang

Tulang merupakan salah satu organ tubuh yang penting bagi manusia. Organ ini menjadi penopang tubuh agar manusia dapat berdiri tegak dengan baik sehingga tubuh mampu melakukan berbagai aktivitas. Fungsi utama tulang adalah memberikan dukungan yang cukup untuk tubuh melalui sistem kerangka. Adapun sejumlah fungsi lain yang dilakukan oleh tulang seperti memberi perlindungan terhadap organ yang rentan dan sel-sel darah, serta tempat penyimpanan mineral dan energi. Sistem kerangka diatur sedemikian rupa sehingga memberikan stabilitas selama manusia melakukan berbagai aktivitas. Oleh karena itu, dalam mencapai hal ini, sistem kerangka harus seimbang dan simetris sehingga sebagian besar tulang dalam tubuh memiliki pasangan di sisi yang berlawanan.

Kerusakan pada tulang dapat berakibat fatal karena membuat aktivitas tubuh terhambat. Kenyataannya, kasus kerusakan pada tulang banyak terjadi di dunia termasuk di Indonesia. Banyak faktor yang dapat memicu kerusakan pada tulang seperti pola makan yang tidak sehat, merokok, kekurangan vitamin D, kebiasaan sikap tubuh yang salah, faktor kelahiran, infeksi, tumor, kecelakaan dan bencana alam.

Menghadapi permasalahan diatas, maka berkembang berbagai macam riset yang berkaitan dengan pengobatan tulang termasuk riset yang berkaitan dengan biomaterial substitusi tulang. Implantasi pada bagian tulang yang rusak merupakan salah satu upaya pengobatan untuk mengembalikan fungsi tulang. Beberapa

teknik substitusi tulang yang dikenal antara lain *autograft*, *allograft*, dan *xenograft*. Biomaterial sintesis merupakan metode alternatif yang dapat dimanfaatkan dalam substitusi tulang. Penggunaan bahan sintesis pada substitusi tulang dapat lebih diterima oleh tubuh karena kesamaan sifat fisika kimia dengan tulang sebenarnya. Beberapa penelitian dari berbagai negara telah memanfaatkan bahan alam seperti batu koral, ganggang laut, dan cangkang telur.

Pada pembentukan tulang, sel-sel tulang keras membentuk senyawa kalsium fosfat dan senyawa kalsium karbonat. Senyawa kalsium fosfat memberikan sifat keras pada jaringan tulang. Kristal kalsium fosfat dalam jaringan tulang tersebut dikenal sebagai kristal apatit. Serbuk biomaterial substitusi tulang perlu dikompositkan dengan matriks organik agar memenuhi syarat sebagai material substitusi tulang. Hal ini dikarenakan tulang merupakan komposit alami yang terdiri dari 30% bahan organik, 55% bahan anorganik, dan 15% air. Substansi anorganik tulang dikenal sebagai fase mineral tulang dengan komponen utamanya adalah kristal hidroksiapatit (HAp).

Limbah atau sampah yaitu limbah atau kotoran yang dihasilkan karena pembuangan sampah atau zat kimia dari pabrik-pabrik. Limbah atau sampah juga merupakan suatu bahan yang tidak berarti dan tidak berharga. Limbah atau sampah juga bisa berarti sesuatu yang tidak berguna dan dibuang oleh kebanyakan orang, mereka menganggapnya sebagai sesuatu yang tidak berguna dan jika dibiarkan terlalu lama maka akan menyebabkan penyakit padahal dengan pengolahan sampah secara benar maka bisa menjadikan sampah ini menjadi bahan ekonomis. Menurut UU RI Nomor 18 Tahun 2008 tentang pengelolaan sampah,

sampah adalah sisa kegiatan sehari-hari manusia atau proses alam yang berbentuk padat (Susilawaty, 2014).

Peningkatan jumlah penduduk menimbulkan banyaknya limbah yang terbuang ke alam baik limbah rumah tangga, pabrik, maupun industri. Hal ini dikarenakan peningkatan kebutuhan bertambah seiring dengan peningkatan jumlah penduduk. Limbah yang terbuang secara percuma dapat berakibat buruk bagi lingkungan sehingga untuk mengurangi pencemarannya, limbah dapat dimanfaatkan untuk hal yang lebih berguna dan mampu membantu kehidupan manusia. Salah satu limbah yang dapat dimanfaatkan adalah limbah cangkang telur. Limbah ini telah banyak dimanfaatkan dalam berbagai bidang, misalnya pada bidang kesehatan, untuk kesuburan tanah, kerajinan tangan dan masih banyak lagi manfaat dari limbah ini.

Kelimpahan cangkang telur di lingkungan dan kemudahan untuk mendapatkannya dapat dimanfaatkan sebagai bahan material anorganik. Hal ini dikarenakan kandungan kimia yang dimiliki cangkang telur. Limbah cangkang telur memiliki kandungan kalsium karbonat yang sangat besar yakni sekitar 98% dari keseluruhan kandungan yang dimiliki cangkang telur. Kandungan kalsium karbonat yang tinggi pada cangkang telur dapat dimanfaatkan untuk sintesis sebagai sumber kalsium dalam pembuatan kristal hidroksiapatit. Kristal ini akan dimanfaatkan dalam pembuatan biomaterial komposit substitusi tulang.

Binatang ternak didalam Al-Quran, tidak kalah penting dari hakikat hal lainnya dalam kehidupan ini. Banyak manfaat yang didapatkan dari binatang ternak ini, seperti dijadikan tunggangan, dagingnya bisa dijadikan makanan,

susunya dijadikan minuman, dan beberapa manfaat lainnya. Sebagaimana firman Allah swt dalam surah An-Nahl / 16:5.

﴿تَأْكُلُونَ مِنْهَا وَمَنْفَعٌ دِفٌّ فِيهَا لَكُمْ خَلْقَهَا وَالْآنَ نَعَمَ﴾

Terjemahannya :

“Dan dia Telah menciptakan binatang ternak untuk kamu; padanya ada (bulu) yang menghangatkan dan berbagai-bagai manfaat, dan sebahagiannya kamu makan”

Dewasa ini, banyak penelitian yang berfokus pada pembuatan nanopartikel. Hal ini dikarenakan nanopartikel membuat suatu material memiliki sifat yang lebih menguntungkan. Nanopartikel merupakan suatu partikel yang memiliki ukuran berkisar 1 – 100 nm yang memungkinkan setiap bahan/material akan mengalami pengurangan berat disertai dengan peningkatan stabilitas dan meningkatkan fungsionalitas.

Dari beberapa penjelasan diatas, maka muncullah suatu gagasan untuk melakukan suatu penelitian tentang karakterisasi nanohidroksiapatit dengan menggunakan SEM dan XRD dengan memanfaatkan cangkang telur ayam dan bebek sebagai sumber kalsium.

1.2 Rumusan Masalah

Rumusan masalah pada penelitian ini adalah sebagai berikut :

1. Bagaimana hasil karakterisasi hidroksiapatit dari cangkang telur ?
2. Bagaimana perbandingan hasil karakterisasi cangkang telur ayam dan cangkang telur bebek ?

1.3 Tujuan Penelitian

Tujuan pada penelitian ini adalah sebagai berikut :

1. Mengetahui karakterisasi hidroksiapatit dari cangkang telur.
2. Mengetahui perbandingan karakterisasi cangkang telur ayam dengan cangkang telur bebek.

1.4 Ruang Lingkup

Ruang lingkup pada penelitian ini adalah sebagai berikut :

1. Cangkang telur yang digunakan pada penelitian ini yaitu cangkang telur ayam dan cangkang telur bebek.
2. Memanfaatkan CaO yang berasal dari cangkang telur sebagai sumber kalsium.
3. Nanohidroksiapatit dari cangkang telur merupakan nanomaterial yang dibuat dengan memanfaatkan cangkang telur yang dapat dijadikan material dalam sintesis tulang.
4. Sumber fosfat dari amonium hidrogen fosfat $((\text{NH}_4)_2\text{HPO}_4)$.
5. Metode yang digunakan adalah reaksi kering.
6. Penelitian ini hanya sebatas pengujian karakterisasi untuk mengetahui komposisi fasa dan morfologi permukaan pada material nanohidroksiapatit.
7. Pengubahan hidroksiapatit menjadi nanohidroksiapatit menggunakan *ultrasonic bath*.
8. Uji karakteristik menggunakan uji SEM untuk mengetahui morfologi permukaan dan uji XRD untuk penentuan komposisi fasa pada nanodroksiapatit.

1.5 Manfaat Penelitian

Manfaat yang dapat diperoleh dari penelitian ini adalah :

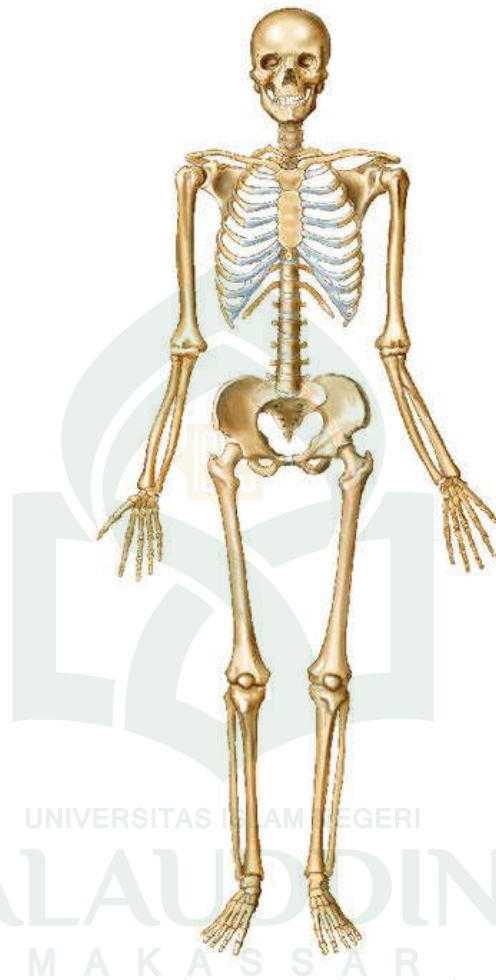
- a. Memberikan informasi kepada masyarakat mengenai pemanfaatan bahan–
bahan anorganik yang dapat diperoleh dengan mudah di lingkungan sekitar
sebagai salah satu bahan substitusi tulang.
- b. Sebagai referensi untuk penelitian yang berkaitan dengan hidroksiapatit.



BAB II

TINJAUAN PUSTAKA

2.1 Tulang



Gambar 2.1 Rangka manusia

(Sumber :<http://www.kompasiana.com/idepenulis/mengenal-kerangka-manusia>)

Kerangka merupakan salah satu unsur suatu sistem penegak dan penggerak tulang–tulang manusia dihubungkan satu dengan yang lain melalui persendian sehingga terbentuk sistem lokomotor pasif. Rangka manusia tersusun dari 206 tulang yang dipersambungkan oleh persendian yang terdiri dari :

1. Tulang otak (*neurokrania*) 8 buah
2. Tengkorak wajah (*splanchnocrania*) 14 buah
3. Tulang telinga dalam 6 buah
4. Tulang lidah 1 buah
5. Tulang kerangka dada 25 buah
6. Tulang belakang dan gelang panggul 26 buah
7. Tulang anggota gerak atas 64 buah
8. Tulang anggota gerak bawah 62 buah

Tulang terdiri dari matriks (bahan dasar) protein kolagen yang mengandung garam – garam mineral terutama fosfat dan kalium, sejumlah protein dan mineral termasuk mineral tulang antara lain kalsium (Ca_{10}), fosfat (PO_4), dan peroksida ($(OH)_2$) (Syarifuddin, 2012)

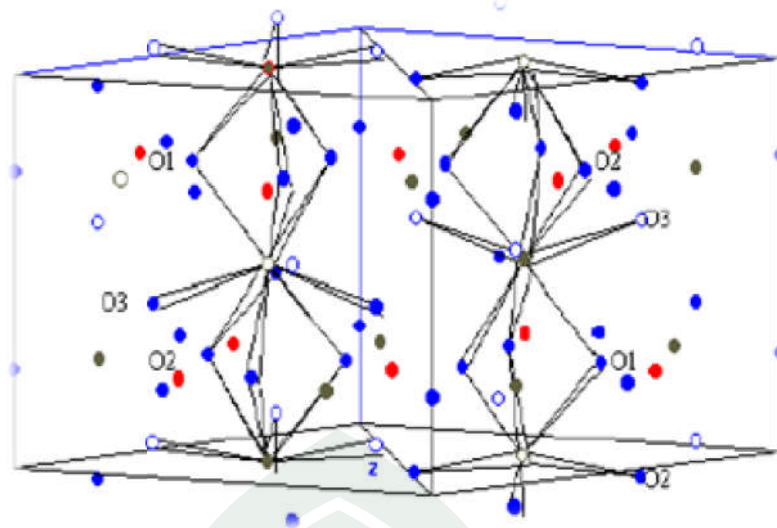
Komposisi utama jaringan tulang jumlahnya bergantung pada spesies, umur, jenis kelamin, jenis tulang dan posisi tulang. Komposisi tulang secara umum terdiri dari 60% material anorganik, 30% organik dan 15% air. Material anorganik merupakan mineral tulang yang mengandung cukup kalsium yaitu dalam bentuk kalsium fosfat karbonat atau disebut apatit karbonat dan mineral-mineral lain. Mineral-mineral lain yaitu magnesium (Mg), *fluoride* (F) dan klor (Cl), natrium (Na) dan kalium (K). Kehadiran mineral-mineral tersebut menjadikan kalsium fosfat dalam tulang mempunyai sifat yang kompleks, seperti dapat hadir dalam berbagai fase dan adanya impuritas. Apatit karbonat atau *dahlite* [$(Ca, Na, Mg)_5(HPO_4, PO_4, CO_3)_3(OH, CO_3)$]. Senyawa kalsium fosfat dalam tulang disebut juga sebagai apatit biologi (Kalfas, 2001).

Pada tulang keras maupun tulang rawan merupakan jaringan ikat khusus yang mempunyai corak histologis dasar. Jaringan ikat ini mengandung sel-sel yang berasal dari mesodermal (bagian tengah lapisan germinativum primer pada embrio) yang dikelilingi suatu matriks (bahan dasar) yang disekresi oleh sel dari jaringan ikat itu sendiri. Seluruh sel-sel jaringan ikat berbentuk oval dan memiliki tonjolan kecil. Matriks tersebut membentuk sejumlah besar jaringan-jaringan tulang yang terdiri dari :

1. Susunan yang teratur dari jaringan ikat mengakibatkan kekuatan tulang sama baiknya dengan elastisitasnya
2. Mineralisasi dari matriks : kristal-kristal khusus yang dibuat oleh kalsium dan fosfat, yang menghasilkan kekuatan pada tulang.
3. Sistem kanalikuli : sel tulang yang terdapat dalam ruang matriks disebut lakuna. Lakuna ini dihubungkan satu dengan yang lain oleh kanalis havers yang berisi berkas neurovaskuler. Saluran penghubung ini disebut kanalikuli. Suplai darah dan getah bening tulang, serta saraf dipelihara dengan baik oleh aktivitas metabolisme dan sekresi matriks untuk kelangsungan hidup jaringan tulang. Sistem kanakuli ini membuat jaringan tulang mampu beregenerasi setelah kerusakan yang normal akibat proses penuaan atau setelah terjadi cedera akibat penyakit jaringan tulang.

(Syarifuddin, 2012)

2.2 Hidroksiapatit



Gambar 2.2 Kristal Hidroksiapatit

(Sumber : <http://sukasukamickey.blogspot.co.id/2015/07/material-medict.html>)

Jaringan tulang merupakan sebuah lamela (lempeng) yang tebalnya 5–7 mikron, tersusun dari substansi dasar serabut kolagen. Struktur ini diresapi seluruhnya dengan kristal anorganik yang disebut kristal kalsium hidroksi *apetite*. Serabut kolagen tersusun sejajar satu dengan yang lain dengan arah yang sama di dalam sebuah lamela untuk mempertahankan kekuatan dari jaringan tulang.

Kristal–kristal garam mineral berbentuk jarum merupakan kristal kalsium hidroksi *apetite* dengan rumus kimianya $\text{Ca}_{10}(\text{PO}_4)_6(\text{OH})_2$. Kristal–kristal ini terdapat baik di substansi dasar maupun di serabut–serabut kolagen. Konstituen (zat tambahan) ion utama adalah kalsium, fosfat, dan hidroksil, namun magnesium, barium, strontium, klorida, fluorida, karbonat, dan sitrat juga terdapat pada beberapa kristal atau dalam bentuk ion substansi dasar (Syaifuddin, 2012).

Materi anorganik merupakan lebih kurang 50% berat kering matriks tulang. Kajian difraksi sinar X telah menunjukkan bahwa kalsium dan fosfor

membentuk kristal hidroksiapatit, juga terdapat cukup banyak kalsium fosfat amorf non-kristal). Pada mikrograf elektron, kristal hidroksiapatit tulang tampak sebagai lempeng-lempeng berukuran 40 x 25 x 3 nm. Mereka terletak sepanjang serat kolagen namun dikelilingi oleh substansi dasar amorf. Ion permukaan hidroksiapatit berhidrasi, dan selapis air dan ion-ion terbentuk di sekeliling kristal. Lapis ini, yaitu kerang hidrasi, memudahkan pertukaran ion-ion antara kristal dan cairan tubuh.

Materi organik adalah 95% kolagen tipe I dan substansi dasar amorf, yang mengandung proteoglikan. Beberapa glikoprotein spesifik telah berhasil diisolasi dari tulang. Sialoprotein tulang (kaya akan asam sialat) dan osteokalsin mengandung beberapa residu asam γ -karboksiglutamat; keadaan inilah yang membuat sialoprotein suka sekali bergabung dengan kalsium dan bertanggung jawab untuk memudahkan perkapuran matriks tulang. Jaringan lain yang mengandung kolagen tipe I biasanya tidak mengapur dan tidak mengandung glikoprotein ini. Kandungan kolagen yang tinggi menyebabkan matriks tulang dekalsifikasi sangat kuat terikat pada pulasan untuk serat kolagen.

Penggabungan hidroksiapatit dengan serat-serat kolagen adalah yang membentuk kekerasan dan ketahanan yang khas untuk tulang. Tulang yang telah didekalsifikasi, bentuknya tetap, namun sifatnya berubah menjadi fleksibel mirip tendo. Pembuangan bagian organik dari matriks- yang terutama kolagen -juga memelihara bentuk tulang itu; namun ia menjadi rapuh, mudah patah dan hancur bila dipegang (Junqueira, 1997).

Hidroksiapatit memiliki sifat kimia yang penting yaitu *biocompatible*, *bioactive*, dan *bioresorbable*. *Biocompatible* maksudnya adalah material tersebut tidak menyebabkan reaksi penolakan dari sistem kekebalan tubuh manusia karena dianggap sebagai benda asing. *Bioactive* material akan sedikit terlarut tetapi membantu pembentukan sebuah lapisan permukaan apatit biologis sebelum langsung berantarmuka dengan jaringan dalam skala atomik, yang mengakibatkan pembentukan sebuah ikatan kimia langsung ke tulang. *Bioresorbable* material akan melarut sepanjang waktu (tanpa memperhatikan mekanisme yang menyebabkan pemindahan material) dan mengizinkan jaringan yang baru terbentuk tumbuh pada sembarang permukaan tak beraturan namun tidak harus berantarmuka langsung dengan permukaan material. Fungsi dari material yang *bioresorbable* adalah berperan dalam proses dinamis pembentukan dan reabsorpsi yang terjadi di dalam jaringan tulang. Material *bioresorbable* digunakan sebagai *scaffolds* atau pengisi (*filler*) yang menyebabkan mereka berinfiltrasi dan bersubstitusi ke dalam jaringan.

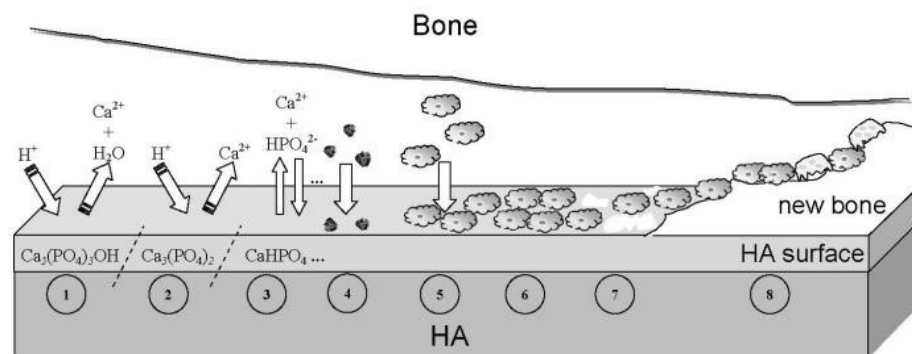
Hidroksiapatit banyak diaplikasikan pada dunia medis karena sifatnya yang sangat mirip dengan komponen pada organ-organ tertentu dari tubuh manusia seperti tulang dan gigi. Kekuatan mekanik yang kurang baik dalam menahan beban maka aplikasinya terbatas pada implan yang tidak sepenuhnya menahan beban (*non-load-bearing implant*), seperti; implan untuk operasi telinga bagian tengah, pengisi tulang yang rusak pada operasi ortopedik, serta pelapis (*coating*) pada implan untuk dental dan *prosthesis* logam.

Teknik pelapisan HA pertama kali dipergunakan untuk implan *dental* dan logam (*stainless steel*, *Co-Cr alloys*, *Ti alloys*, dan *Ta*) untuk *plate* pada patah tulang. *Implant orthopedic* diciptakan dengan mencelupkan (*dipping*) material di dalam sebuah larutan bubuk (*slurry*) HA dan dibakar pada temperatur tinggi, dan juga dengan *plasma spraying*.



Gambar 2.3 Aplikasi kalsium ortofosfat (termasuk didalamnya HA)
(Sumber : Dorozhkin, 2010)

Hidroksiapatit dipergunakan sebagai pelapis implan maka akan terjadi antarmuka dengan sel-sel tubuh di sekitarnya. Proses antarmuka ini sangat penting karena berhubungan dengan biokompatibilitas dari implan tersebut. Implan yang biokompatibel akan dianggap bagian dari sistem di dalam tubuh dan bukan sebagai benda asing yang masuk ke dalam tubuh layaknya kuman. Pelapis hidroksiapatit tidak hanya menjadikan implan yang dilapisinya tersebut biokompatibel dengan tubuh tetapi juga membantu proses perkembangan sel-sel tulang di sekitarnya (Dorozhkin, 2010).



Gambar 2.4. Mode fenomena antarmuka antara HA dengan sel tubuh

(Sumber : Bertazzo,2010)

Gambar 2.4 menjabarkan tahapan-tahapan dari reaksi antarmuka setelah implan HA dimasukkan ke dalam tubuh manusia. Berikut tahapan-tahapan tersebut:

1. Awal proses implan, mulai terjadinya pelarutan permukaan HA.
2. Pelarutan permukaan HA terus berlanjut.
3. Kondisi equilibrium terbentuk antara larutan fisiologis dengan permukaan HA yang telah termodifikasi.
4. Adsorpsi protein-protein dan/atau senyawa bio-organik lainnya.
5. Adhesi sel.
6. Perkembangan sel.
7. Awal mula perkembangan sel tulang baru.
8. Tulang baru telah terbentuk.

Fenomena tersebut merupakan sifat dari HA yang juga bioaktif. Bioaktif diartikan sebagai sifat material yang akan terlarut sedikit demi sedikit tetapi membantu pembentukan suatu lapisan permukaan apatit biologis sebelum berantarmuka langsung dengan jaringan pada tingkat atomik, yang menghasilkan

ikatan kimia yang baik antara implan dengan tulang. Implan dengan sifat ini memiliki sifat mekanik yang baik (Bertazzo,2010).

2.3 Telur

Ternak adalah hewan atau binatang yang dibudidayakan untuk dimanfaatkan manusia dengan campur tangan manusia dan/atau penerapan ilmu dan teknologi pada kelangsungan hidupnya. Beberapa spesies hewan yang sudah ditenakkan sejak lama di Indonesia, seperti kerbau, sapi, kuda, kambing, domba, ayam (petelur, broiter), itik, kelinci dan puyuh. Semua hewan tersebut termasuk kategori ternak konvensional dan sudah lazim ditenakkan (Rama dan Khaerani, 2010).

Telur sebagai salah satu produk ternak unggas yang memiliki protein yang sangat berperan dalam tubuh manusia karena protein berfungsi sebagai zat pembangun yaitu pembentuk jaringan baru didalam tubuh, zat pengatur yaitu mengatur berbagai sistem didalam tubuh dan sebagai bahan bakar, protein akan dibakar ketika kebutuhan energi tubuh tidak dapat dipenuhi oleh hidrat arang dan lemak (Hastang, dkk, 2011).

Telur memiliki struktur yang khusus, karena didalamnya terkandung zat gizi yang sebetulnya disediakan bagi perkembangan sel telur yang telah dibuahi menjadi seekor anak ayam. Bagian esensial dari telur adalah albumen (putih telur), yang mengandung banyak air dan berfungsi sebagai peredam getaran. Secara bersama-sama albumen dan *yolk* (kuning telur) merupakan cadangan makanan yang siap digunakan oleh embrio. Telur dibungkus/dilapisi oleh kerabang yang berfungsi sebagai pelindung terhadap gangguan fisik, tetapi juga

mampu berfungsi untuk pertukaran gas untuk respirasi (pernafasan). Perbandingan antara tiga bagian penyusun telur yaitu *yolk*, albumen dan kerabang (termasuk di dalamnya selaput kerabang) berdasarkan berat telur keseluruhan, tidak selalu terdistribusi sama pada spesies bangsa burung yang berbeda, tetapi dalam satu spesies komposisi 3 bagian tersebut relatif selalu sama.

Telur unggas pada dasarnya dibedakan menjadi 2 kelas. Perbedaannya terletak pada perbandingan relatif antara *yolk* dengan albumen. Telur-telur dengan berat *yolk* sekitar 21-40 % berat telur keseluruhan, termasuk kedalam kelas telur dari spesies burung *precocial*. Telur dengan berat *yolk* sekitar 15-20 persen berat telur keseluruhan termasuk kedalam kelas telur dari spesies *altricial*. Kelompok *precocial* antara lain spesies itik, ayam, *turkey* (kalkun), angsa, sedang yang termasuk golongan *altricial* antara lain dari *species golden eagle*, merpati, robin.

Tabel 2.1 Komposisi ketiga komponen pokok telur dalam persen

Bahan Penyusun	Kulit	Albumen	Kuning telur
Bahan anorganik	95,1	-	-
Protein	3,3	12,0	17,0
Glukosa	-	0,4	0,2
Lemak	-	0,3	32,2
Garam	-	0,3	0,3
Air	1,6	87,0	48,5

Perbedaan warna pada cangkang telur dipengaruhi oleh genetik dan struktur dari masing-masing telur. Warna coklat dan putih pada cangkang telur ayam disebabkan oleh senyawa porfirin, warna biru pada cangkang telur bebek disebabkan oleh pigmen biliverdin. Warna kecokelatan berbintik-bintik hitam tak beraturan pada cangkang telur puyuh, berasal dari perpaduan dari senyawa porfirin dan biliverdin (Hargitai, dkk, 2011).

2.3.1 Telur Ayam

Telur ayam memiliki struktur yang sangat khusus yang mengandung zat gizi yang cukup untuk mengembangkan sel yang dibuahi menjadi seekor anak ayam. Ketiga komponen putih telur adalah : kulit telur, putih telur atau albumen dan kuning telur. Secara terperinci struktur telur dapat dibagi menjadi 9 bagian yaitu :

1. Kulit telur dengan permukaan yang agak berbintik-bintik.
2. Membran kulit luar dan dalam yang tipis, berpisah pada ujung yang tumpul dan membentuk ruang udara.
3. Putih telur bagian luar yang tipis dan berupa cairan.
4. Putih telur yang kental dan kokoh berbentuk kantung albumen.
5. Putih telur bagian dalam yang tipis dan berupa cairan.
6. Struktur keruh berserat yang terlihat pada kedua ujung kuning telur, dikenal sebagai *khalaza* dan berfungsi memantapkan posisi kuning telur.
7. Lapisan tipis yang mengelilingi kuning telur, dan disebut membran fitelin.
8. Benih atau *blastodisc* yang terlihat sebagai bintik kecil pada permukaan kuning telur. Pada telur yang terbuahi, benih ini berkembang menjadi anak ayam.

9. Kuning telur, yang terbagi menjadi kuning telur berwarna putih berbentuk vas, bermula dari benih ke pusat kuning telur, dan kuning telur yang berlapis yang merupakan bagian terbesar.

(Rama dan Khaerani, 2010).



Gambar 2.5 Telur ayam

(Sumber : <https://semarengineer.files.wordpress.com/2012/01/telur-ayam2.jpg>)

2.3.2 Telur Itik

Itik adalah salah satu jenis unggas yang memiliki kelebihan dibandingkan dengan unggas yang lain. Itik mampu mempertahankan produksi telur lebih lama dibandingkan dengan ayam, tingkat kematiannya rendah, tahan terhadap penyakit, dan pada penggunaan kualitas pakan yang rendah itik masih dapat memproduksi. Komoditas unggulan dari itik adalah daging dan telur. Telur itik merupakan produk itik yang lebih digemari masyarakat daripada daging bebek. Produksi telur itik di Provinsi Lampung pada 2011 mencapai 3.017 ton dan pada 2012 meningkat menjadi 3.176 ton (Ditjenak, 2013).



Gambar 2.6 Telur bebek

(Sumber :

https://s24.postimg.org/mevq6u6k5/i_Stock_000039809926_Small.jpg)

Rose (1997) menggambarkan taksonomi itik sebagai berikut :

Kingdom	: Animalia
Filum	: <i>Chordata</i>
kelas	: <i>Aves</i>
ordo	: <i>Anseriformes</i>
famili	: <i>Anatidae</i>
genus	: <i>Anas, carina, anser</i>
spesies	: <i>Anas platyrhynchos (domestic ducs) Carina moschata (Muscovy duck)</i>

Itik merupakan jenis unggas air (*waterfowl*) karena unggas ini suka berenang di perairan. Menurut Wasito dan Rohaeni (1994), ternak itik mempunyai kelebihan dibanding ternak unggas lain. Kelebihan tersebut yaitu:

- a. Itik mampu mempertahankan produksi lebih lama dibanding ayam sehingga dapat mengurangi biaya penggantian itik setiap tahunnya.

- b. Pada sistem pemeliharaan sederhana, itik mampu berproduksi dengan baik (itik gembala yang dipelihara di sawah dengan kandang sederhana dari bambu dan sebagian ditutup atap jerami mampu berproduksi dengan baik).
- c. Angka kematian (mortalitas) itik pada umumnya kecil, sehingga itik dikenal sebagai unggas yang tahan terhadap penyakit.
- d. Itik bertelur pada pagi hari sehingga pengumpulan telur hanya dilakukan satu kali. Waktu kosong pada siang dan sore hari dapat digunakan peternak untuk melakukan kegiatan-kegiatan lain.
- e. Itik dapat memanfaatkan pakan berkualitas rendah, namun jika pakan ini diberikan ke unggas lain maka kemungkinan unggas tersebut tidak mampu berproduksi.
- f. Produksi telur asin hanya dapat dibuat dari telur itik. Daging itik juga sangat populer di beberapa tempat seperti di Kalimantan dan Bali

2.4 Kalsium Karonat (CaCO_3)

Cangkang telur memiliki komposisi utama kalsium karbonat (CaCO_3) yang bisa menyebabkan polusi karena aktivitas mikroba di lingkungan. Cangkang telur terdiri dari 4 lapisan berbeda yang dapat digambarkan sebagai struktur terorganisasi dengan baik, yaitu (dari dalam ke luar) lapisan membran, lapisan *mamillary*, lapisan busa, dan lapisan kurtikula. Cangkang telur ayam membungkus telur memiliki berat 9–12 % dari berat telur total dan mengandung 94% kalsium karbonat, 1 % kalium fosfat, dan 1% magnesium karbonat (Ayu dan Fithri, 2015).



Gambar 2.7 (a) Cangkang telur bebek dan (b) Cangkang telur ayam
(Sumber :<http://krjogja.com/kr-admin//files/news/images/21856/telur%20bebek.jpg>)

Kalsium karbonat merupakan mineral anorganik yang dikenal tersedia dengan harga murah secara komersial. Sifat fisis kalsium karbonat seperti, morfologi, fase, ukuran, dan distribusi ukuran dimodifikasi menurut bidang pengaplikasiannya. Bentuk morfologi dan fase kalsium karbonat (CaCO_3) terkait dengan kondisi sintesis seperti, konsentrasi reaktan, suhu, waktu *anging*, dan zat adiktif alam. Kalsit (CaCO_3) merupakan fase yang paling stabil dan banyak digunakan dalam industri cat, kertas, *magnetic recording*, industri tekstil, detergen, plastik, dan kosmetik (Noviyanti, dkk, 2015).

Secara umum masyarakat mengenal CaCO_3 hanya sebagai kalsium karbonat berat. Tetapi sebenarnya CaCO_3 berat dan CaCO_3 ringan berdasarkan sifat kimianya hampir sama, perbedaan dasar terdapat pada kerapatan ruah (*bulk density*), karbonat berat mempunyai kerapatan ruah 1–1,2, sedangkan karbonat ringan hanya 0,15–0,6 hal ini disebabkan karbonat berat terjadi secara alamiah dan dikenal di alam sebagai batu kapur atau *limestone* sementara karbonat ringan terjadi melalui proses kimia (Retno, 2008).

Menurut Retno (2008), kalsium karbonat umumnya digunakan untuk mendukung pabrik kimia. Penggunaannya antara lain sebagai berikut :

1. Sebagai bahan pembantu pada industri *pulp*, kertas dan industri farmasi
2. Untuk *refrigeration brine*, *cheap drying agent*, *dust proofing* pengendali es dan *food additive*
3. Digunakan pada industri *fungisida*
4. Digunakan pada industri tambang sebagai *freeze proofing* batu bara dan gas
5. Digunakan untuk campuran beton untuk meningkatkan kekuatan awal dan *ultimate strength*

Kebutuhan kalsium karbonat sejak tahun 1983 terus meningkat seiring dengan perkembangan industri, pemakaiannya antara lain : cat, pipa plastik, PVC, *compound*, ban, sepatu karet, kosmetik, kulit imitasi, pasta gigi dan industri lain. Berdasarkan data yang ada, kebutuhan kalsium karbonat mencapai 62,967 ton terdiri dari import dan komoditi dalam negeri (Retno, 2008).

Menurut Retno (2008), sifat-sifat kalsium karbonat

- a. Sifat – sifat fisika CaCO_3 (Calsite)
 1. Merupakan bubuk putih atau kristal-kristal transparan
 2. Tidak berbau dan tidak berasa
 3. Bentuk padatan
 4. Titik leleh 1339°C
 5. *Spesific gravity* 2,711 C
- b. Sifat – sifat kimia CaCO_3 (Calsite)
 1. Rumus kimia CaCO_3

2. Berat molekul 100,09
3. Kelarutan dalam air
4. 0,0014 gr/100 gr H₂O pada 25°C
5. 0,002 gr/ 100 gr H₂O pada 100°C

Kalsium oksida memiliki produktivitas yang sama dengan KOH atau NaOH, akan tetapi memiliki beberapa kelebihan yaitu penanganan yang mudah, pengumpulan kembali produk yang mudah, dan proses yang ramah lingkungan. Terdapat beberapa sumber CaO alami yang berasal dari bahan limbah seperti cangkang telur, cangkang kerang, dan tulang. Penggunaan limbah sebagai bahan mentah untuk sintesis katalis dapat mengurangi sampah dan memproduksi katalis heterogen yang bermanfaat untuk reaksi kimia (Nasar, dkk, 2013).

2.5 Nanopartikel

Nanopartikel adalah bagian dari nanoteknologi yang mempelajari partikel dengan ukuran 0,1 sampai 100 nanometer, biasanya disebut juga sebagai *ultrafine particles*. Dalam SI, unit nanometer berskala satu milyar meter atau 10⁻⁹ m. Satu nanometer sama dengan ikatan 6 atom karbon dan akan sama dengan kira-kira 1/40000 dari diameter rambut manusia. Material berukuran nanometer memiliki sejumlah sifat kimia dan fisika yang lebih unggul dari material berukuran besar (*bulk*). Dalam istilah teknis, kata “nano” berarti 10⁻⁹ m atau sepermilyar. Istilah nanoteknologi umumnya digunakan ketika mengacu pada bahan-bahan dengan ukuran 0,1 sampai 100 nanometer (Winarno, 2010).

Nano dalam perspektif islam dapat pula dinisbatkan pada kata dzarrah yang merujuk pada sesuatu yang berukuran sangat kecil. Dalam Al-Qur'an, kata

dzarrah dapat ditemukan dalam beberapa ayat, salah satunya Allah berfirman dalam surah Yunus ayat 61 yang berbunyi:

مَا فِيهِ تُفِيضُونَ إِذْ شُهِدَّا عَلَيْكُمْ كُنَّا إِلَّا أَعْمَلٌ مِّنْ تَعْمَلُونَ وَلَا قُرْءَانٍ مِّنْ مِّنْهُ تَتْلُونَ أَوْ مَا شَأْنٌ فِي تَكُونُونَ وَمَا مُبِينٌ كَتَبْنَا فِي الْأَكْبَرِ وَلَا ذَلِكُمْ مِّنْ أَصْغَرٍ وَلَا السَّمَاءِ فِي وَلَا الْأَرْضِ فِي ذَرَّةٍ مَّتَّقَالَ مِنْ رَبِّكَ عَنِ يَعْرُبِ



Terjemahnya :

“Dan tidaklah engkau (Muhammad) berada dalam suatu urusan, dan tidak pula kamu melakukan suatu pekerjaan, melainkan Kami menjadi saksi atasmu ketika kamu melakukannya. Tidak lengah sedikit pun dari pengetahuan Tuhanmu biarpun sebesar zarah, baik di bumi maupun di langit. Tidak ada sesuatu yang lebih kecil dan yang lebih besar daripada itu, melainkan semua tercatat dalam kitab yang nyata (Lauh Mahfuz)”

Menurut tafsir Al-Misbah, kata *dzarrah* dipahami oleh ulama dalam berbagai arti, antara lain *semut yang sangat kecil* bahkan *kepala semut*, atau *debu* yang beterbangan yang hanya terlihat di celah cahaya matahari. Sementara orang dewasa ini memahaminya dalam arti atom. Kata itulah kini digunakan untuk menunjuk atom, walaupun pada masa turunnya Al-quran atom belum dikenal. Dahulu pengguna bahasa menggunakan kata tersebut untuk menunjuk kesesuatu yang terkecil, oleh karena itu berbeda-beda maknanya seperti dikemukakan diatas. Dasar itu pula kita tidak dapat berkata setelah ditemukan dipecahkannya atom serta dikenalnya proton dan elektron, kita tidak dapat berkata bahwa ayat ini telah mengisyaratkan adanya sesuatu yang lebih kecil dari atom berdasarkan firman-Nya ”Tidak ada yang lebih kecil dan tidak pula yang lebih besar dari *dzarrah* itu”. Hak tersebut demikian, karena penggalan ayat ini dimaksudkan untuk menampik kesan yang boleh jadi muncul dalam benak sementara orang

yang memahami kata *dzarrah* dalam arti-katakanlah-kepala semut, bukan dalam arti sesuatu yang terkecil., sehingga dengan demikian boleh jadi diduga bahwa yang lebih kecil dari kepala semut tidak diketahui oleh Allah swt. Maha Suci Allah dari dugaan itu (Shihab, 2002).

Dalam tafsir Al-Maraghi, tidak ada sesuatupun yang lebih kecil daripada atom diantara rahasia–rahasia alam yang tidak dapat kalian lihat, tidak pula yang lebih besar daripada itu, meski ukuran besarnya seperti ‘Arsy Allah Ta’ala, kecuali hal itu diketahui oleh-Nya dan dihitung di sisi-Nya di dalam buku catatan yang agung, buku yang memuat catatan segala ukuran yang ada, guna menyempurnakan sistem alam dan mencocokkan seluruh perbuatan.

Semakna dengan ayat ini, ialah firman Allah Q.S Al-Haqqah/69 : 38-39 yang berbunyi :

﴿تُبْصِرُونَ لَآ وَمَا تُبْصِرُونَ بِمَا أَقْسَمُ فَلَا﴾

Terjemahannya :

“Maka Aku bersumpah dengan apa yang kamu lihat. Dan dengan apa yang tidak kamu lihat.”

Isyarat yang terdapat disini yakni didalam wujud ini terdapat banyak perkara yang tidak terlihat oleh mata. Ilmu modern telah membuktikan dengan menggunakan alat–alat pembesar yang dapat menampakkan sesuatu berlipat–lipat kali lebih besar (mikroskop). Bahwa disana terdapat barang–barang yang tidak mungkin dilihat kecuali apabila dibesarkan dari yang sebenarnya ribuan kali. Bibit–bibit penyakit (mikroba), yang semua itu tak pernah terlintas dalam pikiran seorang pun dimasa turunnya Al-Qur’an, namun kini telah nyata bagi siapa saja (Al-Maraghi, 1974).

Menurut tafsir Al-Azhar, ayat ini berisi peringatan Tuhan bahwa tertariknya perhatian pada masing-masing kita kepada seruan agama dan melakukan perintah ilahi, yang timbul dari semangat dan kesadaran, adalah sambut menyambut dengan perhatian Tuhan kepada kita. Kita datang berduyun karena tertarik kepada petunjuk Tuhan, dan Tuhan pun menyambut pula kedatangan hamba-hamba-Nya dengan gembira : “Dan tidak ada yang terluput dari Tuhan engkau.” Artinya, tidak ada yang jauh bagi-Nya dan tidak ada yang ghaib tersembunyi daripadanya : “Dari seberat *dzarrah* pun.”.

Kita sudah mafhum arti *dzarrah*, yaitu yang disebut al-Jauhar al-fard, benda yang tidak dapat dibagi lagi karena sangat halusnyanya, yaitu ATOM (A = tidak, TOM = terbagi). Ilmu pengetahuan tentang atom telah menjelaskan bahwa *dzarrah* yang diberi nama oleh filsuf Yunani dengan atom itu, tidak sesuai lagi dengan kenyataan, sebab atom itupun terbagi!. Oleh karena itu, kalimat *dzarrah* lebih sesuai dipakai terus daripada kalimat atom, maka *dzarrah* yang halus itupun tidaklah luput daripada pengetahuan Allah dan tidaklah tersembunyi : “Baik di bumi dan tidak pula di langit.” Bila direnungkan bunyi suku-suku ayat ini, nampaklah bahwa hasil penyelidikan manusia terhadap *zarrah* telah mendekati maksud ayat ini, yaitu bahwasanya seluruh wilayah alam ini, bumi dan langit, segala benda (materi) yang ada adalah kumpulan, pertemuan dan perpaduan dari *dzarrah-dzarrah*. Diantara berjuta-juta manusia, turunan demi turunan hanya sedikit sekali, yaitu sarjana-sarjana ulung, terutama di dalam abad kita ini yang telah menumpahkan minat memperhatikan *dzarrah* atau atom itu, maka sampailah orang kepada kesimpulan betapa dahsyatnya tenaga yang tersimpan di

dalam *dzarrah* itu. Bumi, langit, matahari, bulan dan berjuta-juta bintang-bintang semuanya terdiri dari paduan atom atau *dzarrah* yang amat halus tidak terbagi itu. Setelah mereka merenungkan tenaga yang tersimpan dalam atom, sampailah mereka kepada keyakinan, bahwa tidak mungkin, atau mustahillah bahwa tenaga yang begitu besar di dalam alam, yang menyebabkan alam berkeadaan sebagai sekarang ini, berjalan dengan peraturan yang sangat telliti, bahwa semuanya ini terjadi secara kebetulan saja. Penyelidikan terakhir, yang telah menimbulkan revolusi terbesar dalam lapangan ilmu pengetahuan alam ini, telah mempertemukan sebagian besar dari sarjana-sarjana itu dengan maksud ayat ini, bahwasanya semuanya itu adalah di bawah lingkungan dan peraturan dari Zat Yang Maha Kuasa : “ Dan tidak pula yang lebih kecil dari itu dan tidak pula lebih besar, melainkan semuanya ada di dalam kitab yang nyata”.

Diujung ayat ini sabda Tuhan : “Tak ada yang lebih kecil” daripada *dzarrah* itu, telah memperjelas lagi bahwasanya yang lebih kecil daripada atom pun ada. Tadi sudah kita katakan bahwa pendirian kuno yang mengartikan *dzarrah* dengan atom, yang berarti tidak terbagi, yang disebut dalam bahasa Arab “al-Jauhar al-Fard” sekarang telah berubah. Arti atom untuk “Atom” sudah tidak tepat lagi; atom terbagi atas neutron, proton, elektron dan sebagainya. Satu yang dinamai atom itu terdiri daripada inti dan satelit atau pengiring. Ahli-ahli mengatakan bahwa perjalanan *dzarrah* yang sangat halus itu dengan inti dan satelitnya persis sama dengan matahari sebagai inti dengan bintang-bintang dan satelitnya pula. Matahari itu terdiri daripada berjuta matahari pula, yang mempunyai satelit sendiri-sendiri. Kekeluargaan suatu matahari diberi nama oleh

ahli penyelidikan dengan galaksi. Sejak *dzarrah* yang paling kecil sampai pada kekeluargaan matahari dalam angkasa raya yang besar ini, jelaslah sesuai dengan ayat ini, yaitu ada alam yang lebih kecil daripada *dzarrah* tadi sedang *dzarrah* itu sendiri hanya didapat dengan ilmu hitung tertinggi (*Wiyskunde*), apalah lagi yang kecilnya dibawah dari *dzarrah* itu (Hamka, 1985).

Sesuatu hal yang dianggap kecil juga sangat bermanfaat bagi kehidupan, seperti yang dijelaskan dalam hadits yang dishahihkan oleh bukhari dan muslim nomor : 1328

حَدَّثَنَا سُلَيْمَانُ بْنُ حَرْبٍ حَدَّثَنَا شُعْبَةُ عَنْ أَبِي إِسْحَاقَ قَالَ سَمِعْتُ عَبْدَ اللَّهِ بْنَ مَعْقِلٍ
 قَالَ سَمِعْتُ عَدِيَّ بْنَ حَاتِمٍ رَضِيَ اللَّهُ عَنْهُ قَالَ سَمِعْتُ رَسُولَ اللَّهِ صَلَّى اللَّهُ عَلَيْهِ
 وَسَلَّمَ يَقُولُ اتَّقُوا النَّارَ وَلَوْ بِشِقِّ تَمْرَةٍ

Terjemahannya :

“ *Telah menceritakan kepada kami Sulaiman bin Harb telah menceritakan kepada kami Syu’bah dari Abu Ishaq berkata, aku mnedengar ‘Abdullah bin Ma’qil berkata, aku mendengar ‘Aidy bin Hatim radhiallahu ‘anhu berkata, aku mendengar Rasulullah Shallallahu ‘alaihiwasallam bersabda : Jagalah diri kalian dari neraka sekalipun dengan (bershadaqah) sebutir kurma*”.

Hadits diatas berisi anjuran bersedekah yang merupakan sebab dijauhkan dari api neraka meski dengan hal-hal yang dianggap remeh oleh sebagian manusia. Pada saat seseorang peminta sedekah, janganlah mencerca dia dengan kata-kata yang buruk. Akan tetapi, berkatalah dengan baik yang bisa menyejukkan perasaannya karena hal itu dapat menjadi penyebab kita terjaga dari api neraka.

Dalam surah Yunus ayat 61 dan hadits al-Bukhari no.1328, menyebutkan tentang *dzarrah* yang mengacu pada hal yang berukuran kecil dan juga manfaat

dari bersedekah sebutir kurma. Pada era kehidupan sains, terdapat banyak sesuatu yang berukuran kecil salah satunya yang memiliki ukuran 10^{-9} atau biasa disebut sebagai nanopartikel yang banyak memiliki manfaat.

2.5.1 Jenis Nanopartikel

Pada dasarnya, nanopartikel dapat dibagi menjadi dua yaitu nanokristal dan *nanocarrier*. *Nanocarrier* memiliki berbagai macam jenis seperti nanotube, liposom, nanopartikel lipid padat (solid lipid nanoparticle/SLN), misel, dendrimer, nanopartikel polimerik dan lain-lain (Rawat *et al.*, 2006).

1. Nanokristal

Nanokristal adalah penggabungan dari ratusan atau ribuan molekul yang membentuk kristal, terdiri dari senyawa obat murni dengan penyaluran tipis dengan menggunakan surfaktan. Pembuatan nanokristal disebut nanonisasi. Berbedadengannanocarrier, nanokristal hanya memerlukan sedikit surfaktan untuk stabilisasi permukaan karena gaya elektrostatis sehingga mengurangi kemungkinan keracunan karena bahan tambahan untuk pembawa (Rawat *et al.*, 2006).

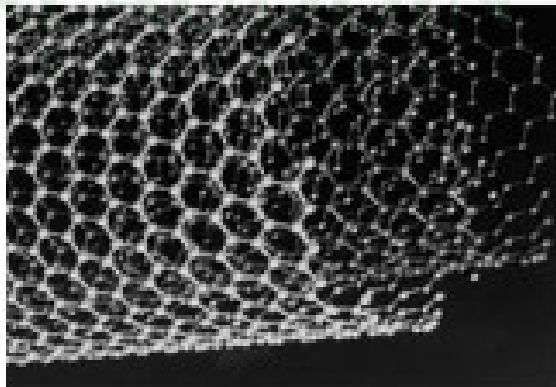
Pada saat ukuran partikel dikurangi hingga kurang dari 100 nanometer, sifat partikel tersebut akan berubah. Berkurangnya ukuran partikel akan meningkatkan kelarutan obat sehingga dapat meningkatkan bioavailabilitas obat dalam tubuh. Oleh karena itu, pengembangan obat berukuran nano, dengan menggunakan teknik seperti milling, homogeniser tekanan tinggi, *spray-drying*, dan nano-presipitasi, terus dilakukan untuk membuat senyawa obat nanokristal. Selain itu, penggunaan nanokristal juga dapat mencegah penggunaan pelarut

berbahaya dan surfaktan dalam pembuatan larutan obat suntik. Nanokristal juga memungkinkan pengembangan formulasi sediaan melalui rute pemberian dimana ukuran partikel adalah faktor yang kritis seperti obat tetes mata, sediaan topikal, cairan infus dan obat suntik (Rachmawati, 2007).

Berkurangnya ukuran partikel dapat mempengaruhi efisiensi distribusi obat dalam tubuh karena dengan berkurangnya ukuran partikel maka akan meningkatkan luas permukaan partikel. Berkurangnya ukuran partikel juga meningkatkan disolusi dan kejenuhan larutan yang berhubungan dengan peningkatan kinerja obat secara *in vivo*. Sifat-sifat nanokristal secara umum tidak sama dengan senyawa obat tersebut dalam ukuran partikel yang lebih besar (Rachmawati, 2007).

2. *Nanotube*

Nanotube adalah lembaran atom yang diatur dalam bentuk *tube* atau struktur menyerupai benang dalam skala nanometer. Struktur ini memiliki rongga di tengah, dan memiliki struktur menyerupai sangkar yang berbahan dasar karbon (Rawat *et al.*, 2006).

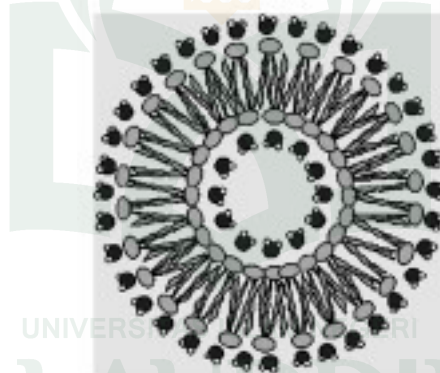


Gambar 2.8 *Nanotube*
(Sumber : Rawat *et al.*, 2006).

Terdapat dua macam nanotube, *nanotube* berdinding tunggal dan *nanotube* berdinding ganda. *Nanotube* berdinding tunggal dapat digunakan sebagai sistem pembawa obat dan gen karena bentuk fisiknya yang menyerupai asam nukleat. *Nanotube* berdinding ganda dapat pula digunakan sebagai sistem pembawa untuk transformasi khususnya untuk sel bakteri (*E. coli*) dan untuk elektroporasi sel dalam skala nano (Rawat *et al.*, 2006).

3. Liposom

Liposom adalah konsentrat vesikel lapis ganda yang didalamnya terdapat cairan yang dibungkus dengan membran lipid lapis ganda yang umumnya terbuat dari fosfolipid alam atau sintesis dan kolesterol (Rawat *et al.*, 2006).

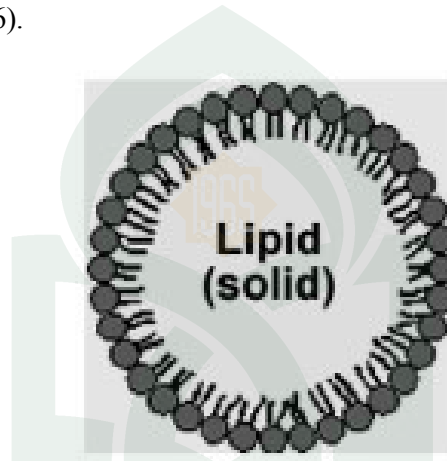


Gambar 2.9 Liposom
(Sumber : Rawat *et al.*, 2006).

Liposom terbentuk ketika lapisan lipid yang tipis terhidrasi dan sejumlah besar kristal cair lapis ganda menjadi cair dan mengembang. Selama agitasi, lembaran lipid yang terhidrasi terpisah dan masing-masing bergabung membentuk vesikel yang mencegah interaksi antara inti hidrokarbon dari lapisan ganda dengan air disekitarnya. Liposom biasanya digunakan sebagai pembawa obat atau sediaan kosmetik untuk mempertahankan kelembaban kulit (Rachmawati, 2006).

4. Nanopartikel Lipid Padat (Solid Lipid Nanopartikel/SLN)

SLN merupakan pembawa koloidal berbahan dasar lipid padat berukuran submikronik (201.000 nm) yang terdispersi dalam air atau dalam larutan surfaktan dalam air. SLN berisi inti hidrofob yang padat dengan disalut oleh fosfolipid lapis tunggal. Inti padat berisi senyawa obat yang dilarutkan atau didispersikan dalam matrik lemak padat yang mudah mencair. Rantai hidrofob fosfolipid mengelilingi pada matrik lemak. Emulgator ditambahkan pada sistem sebagai penstabil fisik (Rawat *et al.*, 2006).

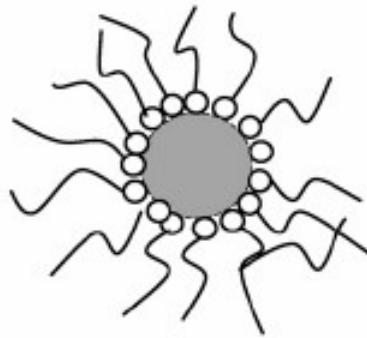


Gambar 2.10 Nanopartikel lipid padat
(Sumber : Rawat *et al.*, 2006).

SLN dibuat dengan berbagai macam teknik seperti homogenisasi tekanan tinggi, pembentukan mikroemulsi, presipitasi, dan sebagai nanopelet lipid dan liposfer (Rawat *et al.*, 2006).

5. Misel

Misel adalah agregat molekul ampifatik dalam air dengan bagian nonpolar berada pada bagian dalam dan bagian polar pada bagian luar yang terpapar air (Rawat *et al.*, 2006).

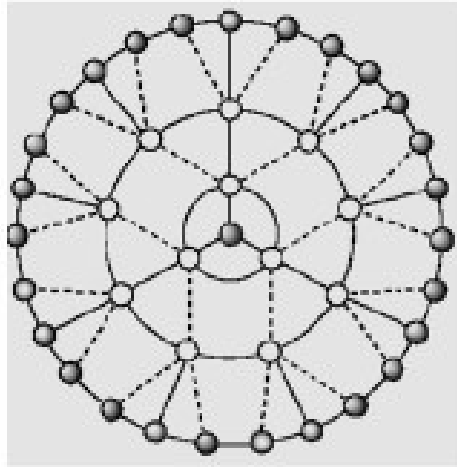


Gambar 2.11 Misel
(Sumber : Rawat *et al.*, 2006).

Pada lingkungan air, kopolimer dengan sifat ampifilik akan membentuk misel polimerik berukuran mesoskopik (1-100 nm). Struktur obat yang demikian mengakibatkan obat yang bersifat hidrofob (sukar larut dalam air) akan terdisposisi di bagian dalam inti misel sehingga struktur ini sangat cocok sebagai pembawa obat yang tidak larut air. Obat didalam inti hidrofob misel dan lapisan luar yang hidofil membantu dispersi misel dalam media air. Hal ini mengakibatkan misel cocok untuk sediaan intravena. Ukurannya yang dalam rentang nanometer menyebabkan misel dapat menghindari sistem retikuloendotelial dan membantu menembus sel endotelial. Misel memiliki kegunaan dalam stabilitas termodinamik di dalam larutan fisiologi yang mengakibatkan disolusi yang lambat secara *in vivo* (Rachmawati, 2006).

6. Dendrimer

Dendrimer adalah senyawa makromolekul yang terdiri atas cabang-cabang di sekeliling inti pusat yang ukuran dan bentuknya dapat diubah sesuai dengan yang diinginkan (Rawat *et al.*, 2006).



Gambar 2.12 Dendrimer
(Sumber : Rawat *et al.*, 2006).

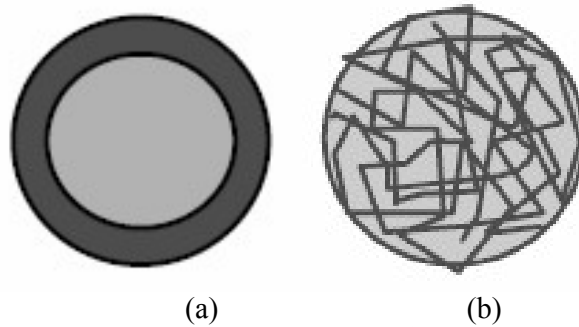
Struktur dendrimer mempunyai tingkat keseragaman molekular, dengan bentuk dan karakteristik tertentu dan unik. Molekul obat dapat dimuatkan baik di dalam dendrimer ataupun diadsorpsi atau diikat pada permukaannya. Dendrimer hidrofili cocok untuk zat penyalut untuk perlindungan dan penghantaran obat menuju situs yang spesifik sehingga mengurangi toksisitas obat (Rachmawati, 2006).

7. Nanopartikel Polimerik

Nanopartikel adalah struktur koloidal berukuran nanometer yang terdiri dari polimer sintesis atau semisintesis dengan rentang ukuran 10-1000 nm. Berdasarkan metode pembuatannya, dapat diperoleh nanosfer atau nanokapsul yang di dalamnya terdapat obat baik dengan cara dilarutkan, dijerat, dikapsulasi atau diikat pada matrik nanopartikel (Rawat *et al.*, 2006).

Nanopartikel polimerik meliputi nanokapsul dan nanosfer. Nanokapsul terdiri atas polimer yang membentuk dinding yang melingkupi inti dalam tempat

di mana senyawa obat dijerat. Nanosfer dibuat dari matrik polimer padat dan di dalamnya terdispersi senyawa obat (Delie and Blanco, 2005).



Gambar 2.13 Perbandingan antara nanokapsul (a) dan nanosfer (a)
(Sumber : Delie and Blanco, 2005).

Polimer sintesis yang biasa digunakan sebagai bahan untuk nanopartikel polimerik antara lain poli(asam laktat) (PLA), poli(asam glikolat) (PGA), poli(asam laktat-glikolat) (PLGA) poli(metilmetakrilat) (PMMA), poli(alkilsianoakrilat) (PACA), dan poli(metilidenmanolat) (PMM). Beberapa polimer alam juga digunakan sebagai bahan dasar pembuatan nanopartikel polimerik. Polimer alam tersebut antara lain kitosan, gelatin, albumin, dan natrium aliginat (Delie and Blanco, 2005).

Material polimer memiliki sifat-sifat yang menguntungkan meliputi kemampuan terdegradasi dalam tubuh, modifikasi permukaan, dan fungsi yang dapat disesuaikan dengan keinginan. Sistem polimerik dapat mengatur sifat farmakokinetik dari obat yang dimuatkan yang mengakibatkan obat berada pada keadaan stabil. Kelebihan-kelebihan tersebut membuktikan bahwa nanopartikel polimerik merupakan sistem yang efektif dalam menjerat atau mengenkapsulasi obat-obat bioteknologi yang biasanya sensitif terhadap perubahan lingkungan. Nanopartikel polimerik yang mengikat peptida dapat digunakan sebagai

penghantaran melalui oral yang diperpanjang dan dapat meningkatkan penyerapan dan ketersediaan hayati (Rawat *et al.*, 2006).

Perekayasa pada nanopartikel polimerik dapat ditargetkan untuk menghantarkan konsentrasi senyawa obat yang lebih tinggi menuju lokasi yang dikehendaki. Partikel pembawa obat akan dibuang dari sistem sirkulasi oleh makrofag. Hal tersebut adalah rintangan utama bila sel non-fagosit dalam tubuh merupakan sasaran pengobatan (Rawat *et al.*, 2006).

Disamping manfaat dan kelebihan, nanopartikel polimerik memiliki keterbatasan seperti sitotoksitasnya. Ukurannya yang kecil akan membuat makrofag memasukkannya dalam sel dan proses degradasi dalam sel dapat memberikan efek sitotoksik. Selain itu, metode produksi dalam skala besar yang sukar dilakukan disamping usaha yang cukup besar untuk mensintesis polimer dan kopolimer yang sesuai dengan sifat hidrofob dan hidrofil dari obat (Rawat *et al.*, 2006).

2.5.2 Metode Pembuatan Nanopartikel

Metode sintesis nanopartikel secara umum yang dapat digunakan dalam sintesis nanomaterial, yaitu secara *top down* dan *bottom up*. Pendekatan *top down* adalah memecah partikel berukuran besar menjadi partikel nanometer sedangkan *bottom up* merupakan cara merangkai atom atau molekul dan menggabungkannya melalui reaksi kimia untuk membentuk nano struktur. Contoh metode *top down* adalah dengan alat *milling*, sedangkan teknologi *bottom up* yaitu menggunakan teknik sol-gel, presipitasi kimia, dan aglomerasi fasa gas.

Ultrasonikasi merupakan salah satu teknik pakling efektif dalam pencampuran proses reaksi dan pemecahan bahan dengan bantuan energi tinggi. Ultrasonikasi dengan intensitas tinggi dapat menginduksi secara fisik dan kimia. Efek fisik dari ultrasonikasi intensitas tinggi salah satunya adalah emulsifikasi. Efek kimia pada ultrasonikasi ini menyebabkan molekul–molekul berinteraksi sehingga terjadi perubahan kimia. Reaksi tersebut disebabkan panjang gelombang ultrasonik lebih tinggi daripada molekul–molekul. Interaksi gelombang ultrasonik dengan molekul–molekul terjadi melalui media cairan. Gelombang yang dihasilkan oleh tenaga listrik diteruskan oleh media cair ke medan yang dituju melalui fenomena kavitasi akustik yang menyebabkan kenaikan suhu dan tekanan lokal dalam cairan (Abdullah, 2008).

2.6 Kristal

Atom-atom yang bergabung membentuk padatan (*solid*), atom-atom itu mengatur dirinya sendiri dalam pola tataan tertentu yang disebut kristal (Malvino, 1981: 16). Kristal didefinisikan sebagai komposisi atom-atom zat padat yang memiliki susunan teratur dan periodik dalam pola tiga dimensi. Keteraturan susunan tersebut terjadi karena kondisi geometris yang harus memenuhi adanya ikatan atom yang berarah dan susunan yang rapat (Edi Istiyono, 2000:1).

Menurut Yoshapat Sumardi (2008), suatu zat padat disebut kristal apabila :

1. Atom-atom atau molekul-molekulnya tersusun dalam suatu pola tiga dimensi yang sangat teratur.

2. Tiap atom atau molekul berada pada kedudukan tertentu dalam ruang dan mempunyai jarak dan arah sudut yang tetap terhadap atom atau molekul lainnya (tersusun secara periodik).
3. Kristal mempunyai simetri *translational* yang jika digerakkan translasi oleh suatu vektor yang menghubungkan dua atom, bentuk kristal tetap sama seperti semula.

Kristal adalah padatan yang atom-atomnya, ion-ionnya, atau molekul-molekulnya berada dalam susunan tiga dimensi yang teratur. Kebanyakan logam

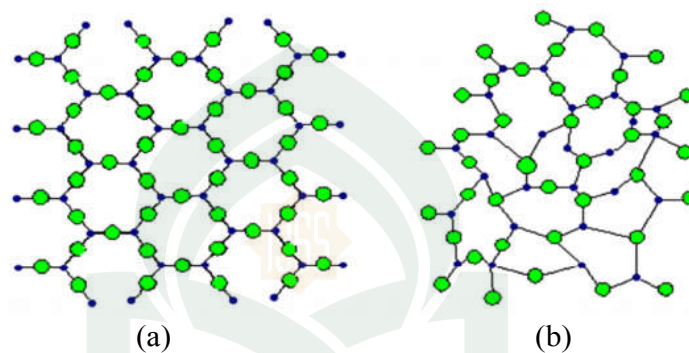
bersifat kristalin, sedangkan kaca dan sebagian besar polimer bersifat *amorphous*.

Terdapat dua jenis kristal, yaitu kristal tunggal (*single crystal*) dan polikristal, seperti ditunjukkan pada gambar 2.14. Kristal tunggal adalah suatu material dimana semua atom-atomnya tersusun sendiri dalam satu arah, sedangkan polikristal adalah suatu material yang tersusun atas beberapa kelompok atom atau butir (*grain*) yang memiliki orientasi yang berbeda satu sama lain (Sofyan, 2007).



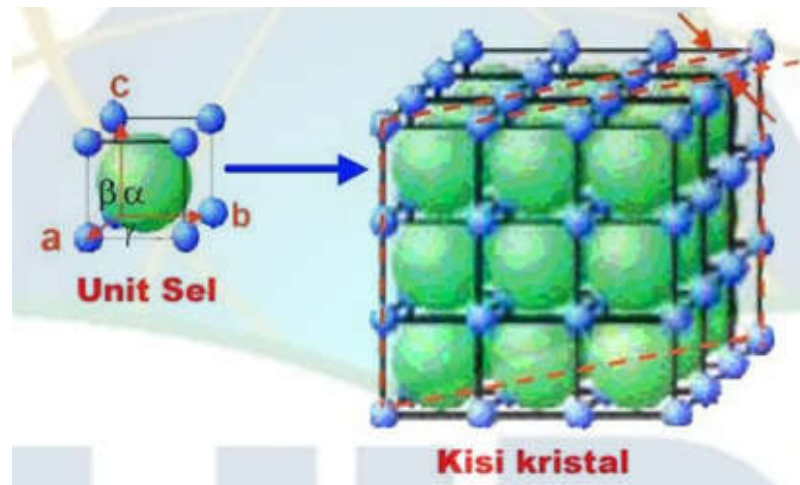
Gambar 2.14 Jenis kristal
(Sumber : Sofyan, 2007)

Berbeda dengan *monocrystal* dan *polycrystal*, *amorf* memiliki pola susunan atom-atom atau molekul-molekul yang acak dan tidak teratur secara berulang. *Amorf* terbentuk karena proses pendinginan yang terlalu cepat sehingga atom-atom tidak dapat dengan tepat menempati lokasi kisinya. Berikut gambaran untuk mengetahui susunan atom kristal dan *amorf*:



Gambar 2.15 (a) Susunan atom kristal, (b) Susunan atom *amorf*
(Sumber : Callister, 2007)

Pada saat menggambarkan struktur kristal, atom-atomnya digambarkan dengan bola dengan diameter yang telah ditentukan. Gambaran tersebut dikenal dengan model bola atom banyak (*atomic hard sphere model*), yang mana bola-bola tersebut menggambarkan atom-atom dari jarak terdekat yang saling bersentuhan, seperti ditunjukkan pada gambar 2.15. Dalam hal ini semua atom identik, terkadang istilah kisi (*lattice*) digunakan dalam konteks struktur kristal; kisi adalah susunan titik-titik dalam ruang tiga dimensi sedemikian rupa sehingga setiap titik memiliki lingkungan yang sama (Callister, 2007).

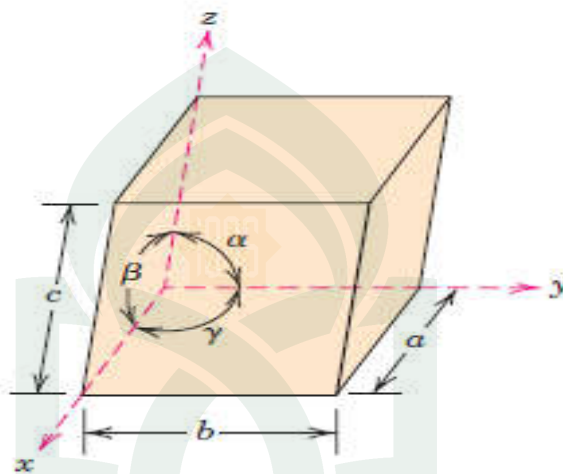


Gambar 2.16 Sel unit dan kisi Kristal
(Sumber : Callister, 2007)

Orde atom dalam zat padat kristalin menunjukkan bahwa grup kecil dari atom-atom membentuk pola yang berulang. Pada saat struktur kristal sering disesuaikan dengan membagi struktur kristal menjadi satuan unit berulang yang lebih kecil yang disebut unit sel, seperti ditunjukkan pada gambar 2.16. Unit sel untuk kebanyakan struktur kristal adalah bidang sejajar atau prisma yang memiliki tiga bidang muka (*face*) yang sejajar yang digambarkan dengan bola, yang dalam hal ini membentuk kubus. Unit sel merupakan unit struktur dasar atau blok penyusun struktur Kristal dan menegaskan struktur kristal dengan geometri yang nyata dengan posisi atom di dalamnya (Callister, 2007).

Terdapat beberapa kemungkinan perbedaan struktur kristal, sehingga hal ini tepat untuk menjadi dasar pengelompokan menjadi beberapa kelompok menurut konfigurasi unit sel atau susunan atom. Pada skema yang diambil

dari geometri unit sel (bentuk unit sel bidang sejajar yang sesuai dan memperhatikan posisi atom di dalam sel) atau disebut *framework* ini ditetapkan sistem koordinat x, y, z . Geometri unit sel secara lengkap didefinisikan dalam 6 parameter, 3 rusuk a, b, c dan 3 sudut interaksial α, β, γ , seperti ditunjukkan pada gambar 2.17. Parameter ini disebut dengan parameter kisi (*lattice parameters*).



Gambar 2.17 Unit sel dengan sumbu koordinat (x, y, z) , aksial (a, b, c) , dan sudut interaksial (α, β, γ)

(Sumber : <http://futurummechanicis.blogspot.co.id/2014/07/sistem-kristal.html>)

Dalam hal ini ada tujuh kemungkinan kombinasi perbedaan dari rusuk a, b, c , dan sudut interaksial α, β, γ , yang mewakili perbedaan sistem kristal. Tujuh sistem kristal ini terdiri dari kubik, tetragonal, heksagonal, ortorombik, rombohedral (trigonal), monoklinik, dan triklinik. Hubungan sistem kristal dengan parameter kisi ditunjukkan pada Tabel 2.2. Sistem kubik ($a = b = c, \alpha = \beta = \gamma = 90^\circ$) merupakan sistem yang memiliki tingkat simetri yang terbaik,

sedangkan sistemtriklinik ($a \neq b \neq c$, $\alpha \neq \beta \neq \gamma$) merupakan sistem yang memiliki tingkat simetri yang paling akhir.

Tabel 2.2. Hubungan sistem kristal dengan parameter kisi

Sistem kristal	Parameter kisi	Kisi Bravais
Kubik	$a = b = c$, $\alpha = \beta = \gamma = 90^\circ$	<i>Simple</i> <i>Body-centered</i> <i>Face-centered</i>
Tetragonal	$a = b \neq c$, $\alpha = \beta = \gamma = 90^\circ$	<i>Simple</i> <i>Body-centered</i>
Ortorombik	$a \neq b \neq c$, $\alpha = \beta = \gamma = 90^\circ$	<i>Simple</i> <i>Body-centered</i> <i>Base-centered</i> <i>Face-centered</i>
Rombohedral (Trigonal)	$a = b = c$, $\alpha = \beta = \gamma \neq 90^\circ$	<i>Simple</i>
Heksagonal	$a = b \neq c$, $\alpha = \beta = 90^\circ$, $\gamma = 120^\circ$	<i>Simple</i>
Monoklinik	$a \neq b \neq c$, $\alpha = \gamma = 90^\circ$, $\neq \beta$	<i>Simple</i> <i>Base-centered</i>
Triklinik	$a \neq b \neq c$, $\alpha \neq \beta \neq \gamma \neq 90^\circ$	<i>Simple</i>

Berdasarkan struktur kristal, atom dalam setiap butir material tersusun secara teratur, tetapi terdapat berbagai ketidaksempurnaan kristal atau cacat kristal. Cacat pada kristal memiliki berbagai bentuk antara lain: cacat titik, cacat garis, cacat planar, dan cacat volume.

1. Cacat titik terjadi karena penyimpangan susunan periodik kisi terbatas sekitar beberapa atom sehingga terjadi kekosongan atom (*vacancy*), sisipan (*interstisi*), dan perpindahan kedudukan atom tak murni di sela kisi (*anti site*). Penyimpangan susunan periodik kisi di sekitar atom merupakan cacat dalam

konsentrasi yang besar dalam kesetimbangan termodinamika seiring meningkatnya temperatur secara eksponensial. Kekosongan adalah kehilangan sebuah atom dalam kristal yang disebabkan penumpukan yang salah ketika kristalisasi, yaitu pada saat temperatur tinggi. Pada keadaan suhu tinggi, energi thermal akan meningkat sehingga atom-atom akan melompat meninggalkan letak kisinya ke lokasi atomik terdekat. Sisipan terjadi jika terdapat atom tambahan dalam struktur kristal, sedangkan untuk *anti site* terjadi jika pemindahan ion dari kisi ke tempat sisipan.

2. Cacat garis (*planar*), muncul karena adanya diskontinuitas struktural sepanjang lintasan kristal (*dislokasi*), atau cacat akibat salah susun struktur kristal. Terdapat dua bentuk dasar dislokasi yaitu: *dislokasi tepi* dan *dislokasi sekrup*. Pembentukan *dislokasi tepi* akibat adanya gesekan antara kristal dengan arah *slip* secara sejajar, sedangkan *dislokasi sekrup* terjadi karena pergeseran atom dalam kristal secara spiral.
3. Cacat *planar* terdapat batas butir, yaitu batas sudut kecil secara memadai dapat digambarkan sebagai dinding vertikal terdiri dari dislokasi. Rotasi suatu kristal relatif terhadap kristal lainnya seperti batas puntir, dihasilkan oleh jaringan silang yang terdiri dari dua sel dislokasi ulir. Batas puntir ini adalah batas sederhana yang memisahkan dua kristal yang memiliki perbedaan orientasi kecil, sedangkan batas butir memisahkan kristal yang mempunyai perbedaan sudut orientasi besar.
4. Cacat volume terjadi akibat pemanasan, *iradiasi*, deformasi sehingga terbentuk *void*, gelembung gas dan rongga dalam kristal dimana sebagian

berasal dari energi permukaan ($1-3 \text{ J/m}^3$). Aliran plastis deformasi yang terjadi secara berkesinambungan mengakibatkan jumlah dislokasi menjadi sangat besar dan saling berkaitan sehingga menghambat gerak masing-masing dan mengakibatkan plastisitas bahan semakin bertambah. Gejala ini disebut *pengerasan*, untuk mengembalikan kelentukan bahan yang mengalami pengerasan dilakukan pemanasan kristal atau *annealing*. Kristal yang mengalami pengerasan mengandung 10^{16} dislokasi per meter kubik volumenya, hal ini dapat direduksi dengan *annealing* menjadi sekitar 10^6 m.

(Arthur Beiser, 1992: 357-361).

Penentuan ukuran kristal dengan persamaan Debye Scherrer dapat digunakan dengan cara mengambil puncak tertinggi yang paling jelas pada poladifraktogram. Berikut perhitungan ukuran kristal dengan persamaan Debye Scherrer :

$$D = \frac{k\lambda}{\beta \cos\theta} \quad (2.1)$$

dimana D adalah ukuran kristal, k adalah faktor bentuk kristal (0.98), λ adalah panjang gelombang sinar x (0,154056 nm), β adalah *Full Width at Half Maximum* (FWHM) (rad) dan θ adalah sudut difraksi dari puncak tertinggi.

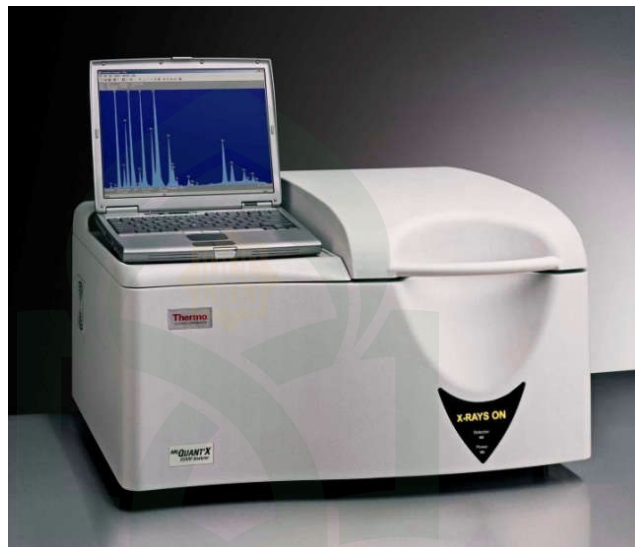
Partikel berukuran

nanometer, biasanya satu partikel hanya mengandung satu kristalinitas.

Ukuran kristalinitas yang diprediksi dengan metode Debye Scherrer juga merupakan ukuran partikel (Abdullah & Khairurrijal, 2009).

2.7 X-Ray Fluorescence (XRF)

X-Ray Fluorescence (XRF) adalah alat uji yang digunakan untuk analisis unsur yang terkandung dalam bahan secara kualitatif maupun kuantitatif. Analisis kualitatif memberikan informasi jenis unsur yang terkandung dalam bahan yang dianalisis, yang ditunjukkan oleh adanya spektrum unsur pada energi sinar-X karakteristiknya. Analisis kuantitatif memberikan informasi jumlah unsur yang terkandung dalam bahan yang ditunjukkan oleh ketinggian puncak spektrum.

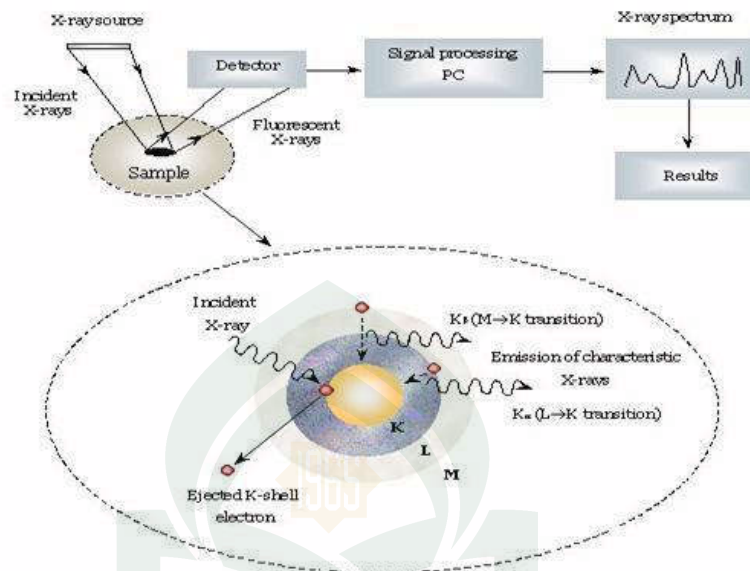


Gambar 2.18 Spektrometer XRF

(Sumber : http://img.directindustry.com/images_di/photo-g/7217-5923407.jpg)

Prinsip kerja alat XRF adalah sebagai berikut : sinar-X fluoresensi yang dipancarkan oleh sampel dihasilkan dari penyinaran sampel dengan sinar-X primer dari tabung sinar-X (*X-Ray Tube*), yang dibangkitkan dengan energi listrik dari sumber tegangan sebesar 1200 volt. Radiasi dari tabung sinar-X mengenai suatu bahan sehingga elektron dalam bahan tersebut akan tereksitasi ke tingkat energi yang lebih rendah, sambil memancarkan sinar-X karakteristik. Sinar-X karakteristik ini ditangkap oleh detektor diubah ke dalam sinyal tegangan (*voltage*), diperkuat oleh *preamp* dan dimasukkan ke *analyzer* untuk diolah

datanya. Energi maksimum sinar-X primer (keV) tergantung pada tegangan listrik (kVolt) dan kuat arus (Ampere). Fluoresensi sinar-X tersebut dideteksi oleh detektor *Silicon Lithium* (SiLi) (Jamaluddin dan Darma, 2012).



Gambar 2.19 Prinsip kerja XRF
(Sumber : <https://indbongolz.files.wordpress.com/2011/02/prinsip-kerja2.jpg?w=616>)

Dasar analisis *X-Ray Fluorescence* (XRF) adalah pencacahan sinar-X yang dipancarkan oleh suatu unsur akibat pengisian kembali kekosongan elektron pada kulit yang lebih dekat inti karena terjadinya eksitasi elektron oleh elektron yang terletak pada kulit lebih luar. Sinar-X yang berasal dari radioisotop sumber eksitasi menabrak elektron dan akan mengeluarkan elektron kulit dalam, maka akan terjadi kekosongan pada kulit itu. Perbedaan energi dari dua kulit itu akan tampil sebagai sinar-X yang dipancarkan oleh atom. Analisis *X-Ray Fluorescence* bertujuan untuk mengetahui dan mengukur kandungan unsur-unsur yang terdapat dalam suatu senyawa atau mineral. (Skoog *et al.*, 1998).

Spektrometer XRF didasarkan pada lepasnya elektron bagian dalam dari atom akibat dikenai sumber radiasi dan pengukuran intensitas pendar sinar-X yang dipancarkan oleh atom unsur dalam sampel. Metode ini tidak merusak bahan yang dianalisis baik dari segi fisik maupun kimiawi sehingga sampel dapat digunakan untuk analisis berikutnya.

Spektrometer XRF tersusun dari tiga komponen utama yaitu sumber radioisotop, detektor dan unit pemrosesan data. Sumber radioisotop adalah isotop-isotop tertentu yang dapat digunakan untuk mengeksitasi cuplikan sehingga menghasilkan sinar-X yang karakteristik. Radioisotop yang dapat digunakan adalah Fe, Co, Cd dan Am. Sumber radioisotop ini dibungkus sedemikian rupa dengan timbal agar penyebaran radiasinya terhadap lingkungan dapat dicegah. Spektrometer XRF yang menggunakan detektor Si(Li) biasanya dimasukkan dalam nitrogen cair. Hal ini dilakukan untuk mengatasi arus bocor bolak-balik yang disebabkan oleh efek termal, sehingga detektor Si(Li) harus dioperasikan pada suhu sangat rendah yaitu dengan menggunakan nitrogen cair sebagai pendingin, apabila tidak dilakukan pendinginan maka arus akan bocor dan akan merusak daya pisah detektor. Selain itu pendingin dengan nitrogen cair juga diperlukan untuk menjaga agar ion-ion Li tidak merembes keluar dari kristal dan menyebabkan hilangnya daerah intrinsik (Iswani, 1983)

2.8 X-Ray Diffraction (XRD)

Sinar-X atau Sinar *Rontgen* adalah salah satu bentuk dari radiasi elektromagnetik dengan panjang gelombang berkisar antara 10 nm ke 100 pm (mirip dengan frekuensi dalam jangka 30 PHz ke 60 EHz). Sinar-X yang

merupakan komponen penting di dalam mesin uji XRD pertama kali ditemukan oleh seorang fisikawan Jerman bernama *Wilhelm Conrad Rontgen* pada tahun 1895.

Berkas sinar-X yang menumbuk permukaan sebuah kristal pada suatu sudut θ , sejumlah sinar akan terhamburkan oleh lapisan atom di permukaan. Sinar yang tidak terhamburkan akan menembus hingga ke lapisan kedua dari kisi kristal dimana sebagiannya lagi terhamburkan, dan sisa yang tidak terhamburkan menembus lagi hingga lapisan ketiga dari kisi kristal. Efek kumulatif dari proses penghamburan ini sama dengan proses difraksi cahaya tampak disebabkan oleh kisi. Syarat terjadinya difraksi adalah;

1. Jarak antara lapisan atom (kisi kristal) harus berada pada orde yang sama dengan panjang gelombang dari radiasi.
2. Pusat hamburan harus berada pada susunan dan jarak yang teratur.

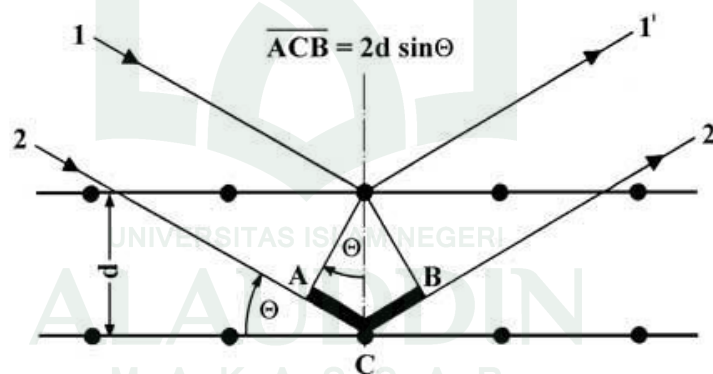
Karakterisasi XRD bertujuan untuk menentukan sistem kristal (kubus, tetragonal, orthorhombik, rombohedral, heksagonal, monoklinik, dan triklinik). Metode difraksi dapat menerangkan parameter kisi, jenis struktur, susunan atom yang berbeda-beda pada kristal, adanya ketidaksempurnaan pada kristal, orientasi, butir-butir dan ukuran butir, ukuran dan berat jenis endapan dan distorsi kisi (R.E Smallman,1991).



Gambar 2.20 XRD

(Sumber : <http://blog.orybooks.com/2009/05/prinsip-dasar-spekstroskopi-difraksi.html>)

Pola interaksi antara gelombang sinar-X dengan atom-atom pada material ditunjukkan pada gambar di bawah ini.



Gambar 2.21. Model difraksi Hukum Bragg

(Sumber : Slószarczyk, 2005)

Berdasarkan persamaan Bragg, jika sinar-X dijatuhkan pada sampel kristal, maka bidang kristal akan menghamburkan sinar-X yang mempunyai panjang gelombang yang sama dengan jarak antar kisi pada kristal. Sinar yang terhamburkan akan ditangkap oleh detektor kemudian akan diterjemahkan sebagai puncak difraksi.

Bragg menyatakan bahwa ketika sebuah berkas sinar-X yang datang dengan sudut sempit θ , terjadi hamburan disebabkan oleh atom C. Jika jarak $AC + CB = n\lambda$, dimana n adalah integer, radiasi yang terhamburkan adalah fase 1 dan 2. Melalui perhitungan trigonometri diketahui bahwa panjang $AC = d \sin \theta$, dengan d adalah jarak antar bidang. Sehingga persamaan untuk interferensi konstruktif dari berkas pada sudut θ adalah;

$$n\lambda = 2d \sin \theta \quad (2.2)$$

Persamaan diatas dinamakan sebagai Persamaan Bragg yang berperan sangat penting. Perlu diperhatikan bahwa sinar-X terlihat seakan dipantulkan dari kristal jika sudut datang memenuhi kondisi bahwa;

$$\sin \theta = \frac{n\lambda}{2d} \quad (2.3)$$

Berdasarkan pada Hukum Bragg, dengan mengukur sudut θ , dapat ditentukan panjang gelombang ataupun unsur kimia, jika jarak antar kisi kristal d diketahui, atau jika panjang gelombang λ diketahui, jarak kisi kristal d dan demikian struktur kristal. Dengan menggunakan sinar-X yang telah diketahui panjang gelombangnya, biasanya digunakan target Cu dengan $\lambda = 1,541838$ Angstrom atau Co dengan $\lambda = 1,790260$ Angstrom, maka akan diperoleh nilai d atau 2θ yang menjadi identitas dari senyawa tertentu (Slósarczyk, 2005).

2.9 Scanning Electron Microscopy (SEM)

SEM merupakan salah satu tipe mikroskop elektron yang mampu menghasilkan resolusi tinggi dari gambaran suatu permukaan sampel. Gambar yang dihasilkan oleh SEM mempunyai karakteristik secara kualitatif dalam dua dimensi karena menggunakan elektron sebagai pengganti gelombang cahaya serta

berguna untuk menentukan struktur permukaan sampel. Material yang dikarakterisasi SEM yaitu berupa lapisan tipis yang memiliki ketebalan 20 μm dari permukaan.



Gambar 2.22 SEM

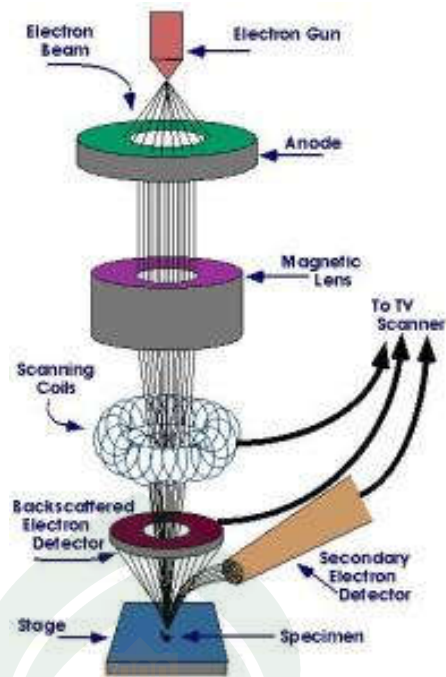
(Sumber : <https://stunecity.wordpress.com/2011/02/04/berkenalan-dengan-spm-scanning-probe-microscope-afm-atomic-force-microscope>)

Teknik SEM merupakan pemeriksaan dan analisi permukaan. Gambar permukaan yang diperoleh merupakan gambar topografi. Gambar topografi diperoleh dari penangkapan pengolahan elektron sekunder yang dipancarkan oleh spesimen. Prinsip kerja SEM adalah elektron mengenai kesemua permukaan sampel titik demi titik sampai tidak ada permukaan yang terlewat dan membentuk garis demi garis. Tiap sapuan elektron ke permukaan menghasilkan elektron sekunder yang kemudian ditangkap oleh detektor kemudian diolah dan ditampilkan pada layar CRT (Agus, 2014 : 14).

Struktur mikroskopik diamati menggunakan SEM, prinsip kejanya yakni dengan memindai permukaan dari material. Sebuah gambar dihasilkan oleh SEM dengan memfokuskan berkas elektron yang memindai permukaan sebuah spesimen; tidak dihasilkan oleh iluminasi sekejap dari semua area seperti yang terjadi pada TEM. Perbedaan SEM dengan mikroskop optik terletak pada resolusi

yang lebih tinggi dan kedalaman area yang lebih besar (*depth of field*). Topografi dan morfologi dapat diamati menggunakan instrument ini karena kedalaman area yang bisa mencapai orde puluhan mikrometer pada perbesaran 1000x dan orde mikrometer pada perbesaran 10000x, hal tersebut karena di dalam SEM dipergunakan *magnetic lense* sehingga lebih mudah mengontrol perbesaran yang diinginkan berbeda dengan mikroskop optik yang menggunakan lensa yang perbesarannya terbatas. SEM dapat memperoleh informasi kimia dari spesimen dengan menggunakan EDX. Skema instrument ini diperlihatkan pada Gambar 2.23. Berkas elektron yang dipergunakan untuk memindai spesimen dihasilkan oleh *elektron gun* yang tersusun atas tiga komponen yaitu; (1) Sebuah filamen katoda yang terbuat dari kawat tungsten, kristal *lanthanum hexaboride* (LaB_6), atau *cerium hexaboride* (CeB_6), (2) Sebuah tudung bercelah (*Wehnelt Cylinder*) yang mengontrol aliran dari elektron (bias), dan (3) Sebuah plat anoda bermuatan positif yang menarik dan mempercepat elektron menuju spesimen (Leng, 2008).

Pada saat elektron berenergi tinggi menumbuk spesimen, elektron tersebut akan dihamburkan oleh atom dari spesimen. Hamburan elektron menyebabkan perubahan arah rambatan elektron di bawah permukaan spesimen. Interaksi yang terjadi antara berkas elektron hanya terjadi pada volume tertentu dibawah permukaan spesimen. Dari interaksi tersebut dihasilkan apa yang disebut dengan *Secondary Electron* (SE) dan *Backscattered Electron* (BSE) yang nantinya dipergunakan sebagai sumber sinyal untuk membentuk gambar. Zona ini biasa disebut dengan *pears-head* karena bentuknya yang mirip buah pir dan ukurannya bertambah dengan meningkatnya energi dari elektron yang datang (Leng, 2008).



Gambar 2.23 Skema mesin SEM
(Sumber : Leng, 2008)

BAB III

METODE PENELITIAN

3.1 Waktu dan Lokasi Penelitian

Penelitian dilakukan di laboratorium kimia analitik fakultas sains dan teknologi UIN Alauddin Makassar dan laboratorium kimia fisika FMIPA UNHAS. Penelitian ini dilakukan pada bulan Oktober 2017.

3.2 Alat dan Bahan

3.2.1 Alat

Alat yang digunakan pada penelitian ini adalah sebagai berikut :

- a. Cawan
- b. Penjepit
- c. Spatula
- d. Oven
- e. Mortar dan alu
- f. Furnace
- g. Labu erlenmeyer bertutup asah 125 mL
- h. Selang infus
- i. Neraca analitik
- j. Kertas Whatman 42
- k. Corong
- l. Gelas kimia
- m. Pengaduk
- n. Pompa vakum

- o. Magnetic stirrer*
- p. Ultrasonikasi Elma D-78224 Singen/Htw*
- q. X-Ray Fluorescence (XRF) ARL QUANT'X EDXRF Analyzer*
- r. X-Ray Diffraction (XRD)-7000 X-RAY DIFFRACTOMETER*
- s. Scanning Electron Microscopy (SEM)*

3.2.2 Bahan

Bahan yang digunakan pada penelitian ini adalah sebagai berikut :

- a. Cangkang telur ayam
- b. Cangkang telur bebek
- c. $(\text{NH}_4)_2\text{HPO}_4$
- d. Aquades
- e. Aquabides
- f. Aluminium voil

3.3 Prosedur Penelitian

Berdasarkan alat dan bahan yang telah disebutkan diatas, maka prosedur penelitiannya adalah sebagai berikut:

3.3.1 Preparasi Sampel Cangkang Telur Ayam dan Bebek

1. Mempersiapkan cangkang telur ayam dan bebek
2. Membersihkan bagian luar dan bagian dalam cangkang telur
3. Mengeringkan cangkang telur yang telah dibersihkan pada suhu ruangan

3.3.2 Proses Kalsinasi

Proses kalsinasi untuk cangkang telur ayam dan bebek adalah sebagai berikut:

1. Menyiapkan cawan dan aluminium foil

2. Memasukkan cangkang telur ayam dan cangkang telur itik ke dalam oven pada suhu 105°C selama 1 jam
3. Meletakkan cangkang telur yang telah di oven ke cawan yang telah disiapkan.
4. Memasukkan cawan yang berisi cangkang telur ke dalam furnace
5. Mengkalsinasi cangkang telur hingga mencapai suhu 900°C selama 5 jam
6. Menggeruscangkangtelurhinggahalusdenganmenggunakan mortar.

3.3.3 Proses Ultrasonikasi

Proses ultrasonikasi untuk cangkang telur ayam dan bebek adalah sebagai berikut :

1. Membersihkan peralatan yang akan digunakan kemudian mengeringkannya menggunakan oven
2. Cangkang telur ayam dan bebek yang telah dikalsinasi, ditimbang dalam gelas kimia masing-masing 5 gr dengan menggunakan neraca analitik
3. Memasukkan cangkang telur yang telah ditimbang ke dalam labu erlenmeyer bertutup asah
4. Cangkang telur yang berada didalam labu erlenmeyer dilarutkan dengan aquades 100 mL.
5. Cangkang telur dan aquades yang telah tercampur diultrasonikasi selama 1 jam.
6. Hasil ultrasonikasi kemudian disaring menggunakan kertas saring whatman 42.
7. Serbuk yang menempel pada kertas saring diambil menggunakan sudip dan disimpan pada gelas kimia

8. Memasukkan gelas kimia kedalam oven selama 7 jam dengan suhu 105°C menguji kandungan dalam sampel yang telah diperoleh menggunakan XRF.

3.3.4 Proses Presipitasi

Proses presipitasi untuk cangkang telur ayam dan bebek adalah sebagai berikut

:

1. Membersihkan alat yang akan digunakan
2. Melarutkan 2,82 gram CaO dengan 100 mL aquades didalam gelas kimia kemudian diaduk secara merata
3. Memasukkan *magnetic stirrer* ke dalam gelas kimia yang berisi CaO kemudian ditutup menggunakan aluminium foil
4. Melarutkan 3,96 gram $(\text{NH}_4)_2\text{HPO}_4$ dengan 100 mL aquades didalam gelas kimia kemudian diaduk secara merata
5. Menempatkan gelas kimia berisi CaO diatas stirrer
6. Menghubungkan gelas kimia yang berisi CaO dengan wadah yang telah di jepit pada statif menggunakan selang infus
7. Menuangkan larutan $(\text{NH}_4)_2\text{HPO}_4$ ke dalam wadah tertutup pada statif
8. Mengatur kecepatan stirrer pada 300 rpm
9. Meneteskan sedikit demi sedikit larutan $(\text{NH}_4)_2\text{HPO}_4$ ke dalam larutan CaO hingga 100 mL larutan $(\text{NH}_4)_2\text{HPO}_4$ tercampur dengan larutan CaO yang berada dalam gelas kimia yang tertutup
10. Hasil presipitasi diendapkan selama 1 malam

3.3.5 Proses Penyaringan dan Pengeringan

Proses penyaringan dan pengeringan untuk cangkang telur ayam dan bebek adalah sebagai berikut :

1. Hasil endapan yang diperoleh kemudian disaring menggunakan pompa vakum dan kertas saring whatman 42.
2. Hidroksiapatit yang telah disaring disimpan dalam cawan.
3. Mengeringkan hidroksiapatit menggunakan oven pada suhu 110°C selama 5 jam.
4. Hidroksiapatit yang telah di oven kemudian disimpan dalam *furnace* pada suhu 800°C selama 5 jam.
5. Menghaluskan hidroksiapatit menggunakan mortar
6. Menguji karakteristik hidroksiapatit yang telah diperoleh menggunakan XRD dan SEM

3.4 Pengujian dan Karakterisasi

3.4.1 *X-Ray Fluorescence* (XRF)

1. Sampel dimasukkan ke dalam wadah sampel
2. Nyalakan XRF
3. Memasukkan sampel ke dalam alat XRF
4. Menjalankan program terkait dalam komputer untuk analisis sampel.

Tabel 3.1 Hasil pengamatan analisis unsur uji XRF

Nama Unsur	Cangkang telur ayam (m/m %)	Cangkang telur itik (m/m%)
.....
.....
.....
.....
.....

Tabel 3.2 Hasil pengamatan analisis senyawa uji XRF

Nama Senyawa	Cangkang telur ayam (m/m %)	Cangkang telur itik (m/m%)
.....
.....
.....
.....
.....

3.4.2 *X-Ray Diffraction (XRD)*

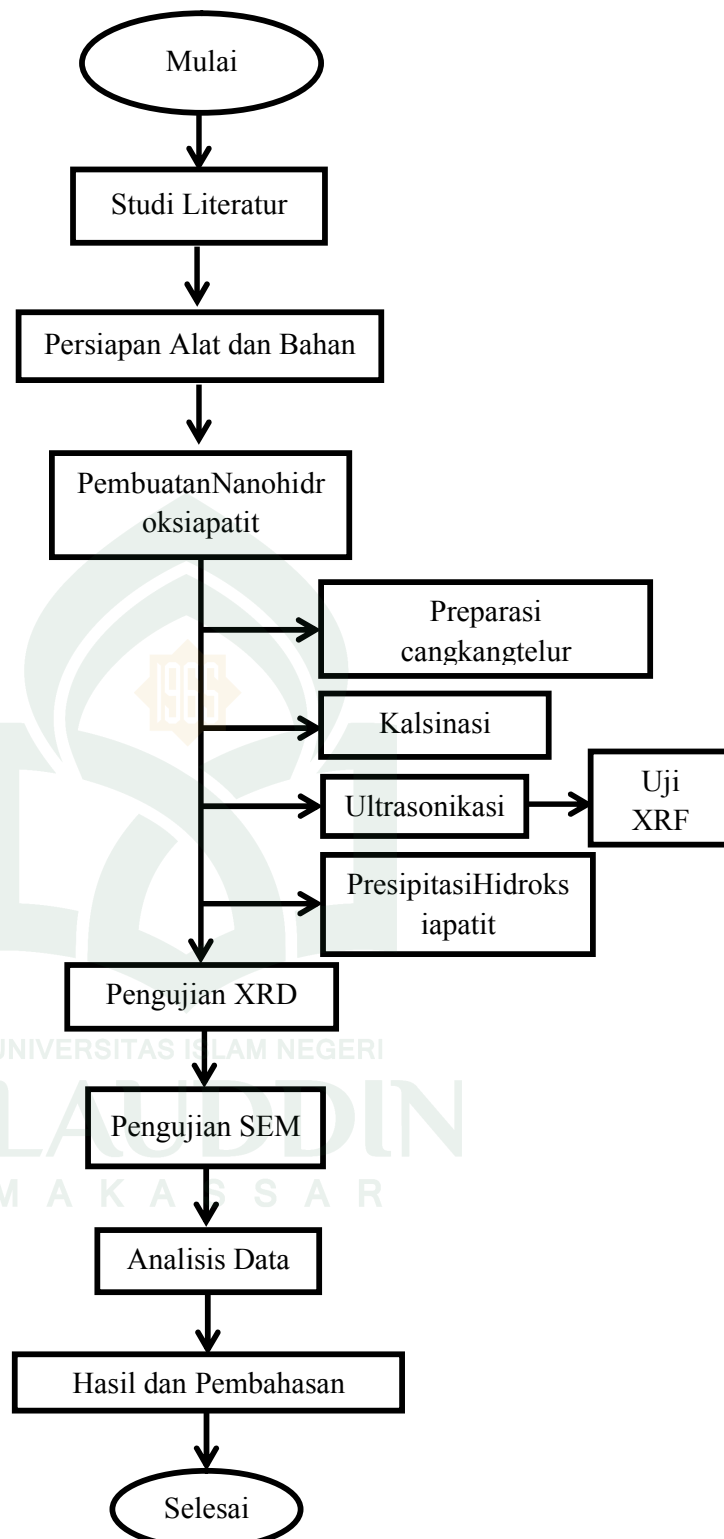
1. Menghaluskansampelmenggunakan mortar dan alu
2. Meletakkansampeldiatas plat aluminium
3. Memasukkansampelkedalamalat XRD
4. Mengatursudut 2θ pada software XRD-7000 komputer yang terhubung dengan alat XRD
5. Menunggu grafik yang terbentuk dari sudut 20° hingga 70° pada software XRD-7000.

3.4.3 *Scanning Electron Microscope (SEM)*

1. Menyiapkan sampel yang ingin diuji
2. Melapisi permukaan sampel dengan logam yaitu emas paladium
3. Mengatur SEM dengan kondisi perbesaran 500x serta operasi tegangan 15 kV
4. Mengamati hasil gambar topografi struktur permukaan sampel



3.5 Diagram Alir

**BAB IV**

HASIL DAN PEMBAHASAN

4.1 Hasil Presipitasi Sampel

Telah dilakukan penelitian pembuatan nanohidroksiapatit dengan menggunakan bahan cangkang telur ayam dan bebek. Pembuatan nanohidroksiapatit dimulai dengan mengkalsinasi cangkang telur ayam dan bebek yang terlebih dahulu telah dibersihkan dan dikeringkan dalam oven pada suhu 105°C . Kalsinasi dilakukan menggunakan *furnace* pada suhu 900°C . Tujuan kalsinasi ini, mengubah kalsium karbonat (CaCO_3) yang terkandung dalam cangkang telur menjadi kalsium oksida (CaO). Kemudian CaO dimasukkan ke dalam ultrasonikasi selama 1 jam. Setelah itu, hasil ultrasonikasi dari CaO dipresipitasi dengan cara mencampurkan larutan ammonium hidrogen fosfat ($(\text{NH}_4)_2\text{HPO}_4$). Larutan ini berperan dalam pembentukan hidroksiapatit.



Gambar 4.1 Hasil presipitasi nanohidroksiapatit : (a) cangkang telur bebek, (b) cangkang telur ayam
 Pada gambar 4.1 menunjukkan hasil fisik dari cangkang telur ayam dan bebek yang telah dikalsinasi berubah warna. Cangkang telur ayam yang

awalnya berwarna coklat muda dan cangkang telur bebek yang berwarna biru muda, kedua cangkang telur tersebut berubah warna menjadi putih tulang sehingga sulit untuk dibedakan.

4.2 Hasil Uji *X-Ray Fluorescence* (XRF)

Uji XRF pada penelitian ini menggunakan alat XRF yang bertujuan untuk analisis unsur yang terkandung didalam sampel penelitian. Pada pengujian ini, terdapat 2 sampel yakni cangkang telur ayam dan cangkang telur bebek yang telah melalui proses kalsinasi dan ultrasonikasi terlebih dahulu.

Berdasarkan hasil uji XRF didapatkan hasil analisis unsur untuk cangkang telur ayam dan bebek yang ditunjukkan pada tabel 4.1

Tabel 4.1 Hasil analisa unsur pada pengujian *X-Ray Fluorescence* (XRF)

Nama Unsur	Cangkang telur ayam (m/m %)	Cangkang telur bebek (m/m%)
Ca	99,7	99,27
Px	0,175	0,304
Si	-	0,22
Sr	-	0,138
Nb	0,01	0,0178
Cr	-	0,0177
Mo	0,0063	0,0128
Sb	0,0063	0,0061
Ru	-	0,0058
Sn	0,0052	0,0054
In	0,0062	0,0051
Ti	0,0204	-

Cu	0,042	-
----	-------	---

Pada tabel 4.1 untuk analisis unsur yang terkandung di dalam cangkang telur ayam dan cangkang telur bebek, terlihat bahwa unsur Ca atau kalsium sangat mendominasi pada masing-masing sampel. Hasil uji XRF yang telah dilakukan, memperlihatkan adanya perbedaan kandungan kalsium pada kedua sampel. Cangkang telur ayam yang memiliki kandungan kalsium sebanyak 99,70% lebih tinggi dibanding cangkang telur bebek yang memiliki kandungan kalsium sebanyak 99,27%.

Berdasarkan hasil uji XRF didapatkan hasil analisis senyawa untuk cangkang telur ayam dan itik yaitu ditunjukkan pada tabel 4.2

Tabel 4.2 Hasil analisis senyawa pada pengujian *X-Ray Fluorescence* (XRF)

Nama Senyawa	Cangkang telur ayam (m/m%)	Cangkang telur itik (m/m%)
CaO	99,57	98,87
P ₂ O ₅	0,329	0,564
CuO	0,053	-
TiO ₂	0,021	-
Nb ₂ O ₅	0,0088	0,0158
MoO ₃	0,0058	0,0119
Sb ₂ O ₃	0,0052	-
SiO ₂	-	0,40
SrO	-	0,102

Cr ₂ O ₃	-	0,0162
--------------------------------	---	--------

Pada tabel 4.2 untuk analisis senyawa yang terkandung di dalam cangkang telur ayam dan cangkang telur bebek, terlihat bahwa CaO atau kalsium oksida pada masing-masing sampel memiliki perbedaan yang tidak terlalu berbeda. Cangkang telur ayam yang memiliki kandungan kalsium oksida sebanyak 99,57%. Persentase yang diperoleh pada cangkang telur ayam lebih tinggi dibandingkan cangkang telur bebek yang mengandung kalsium oksida sebanyak 98,87%.

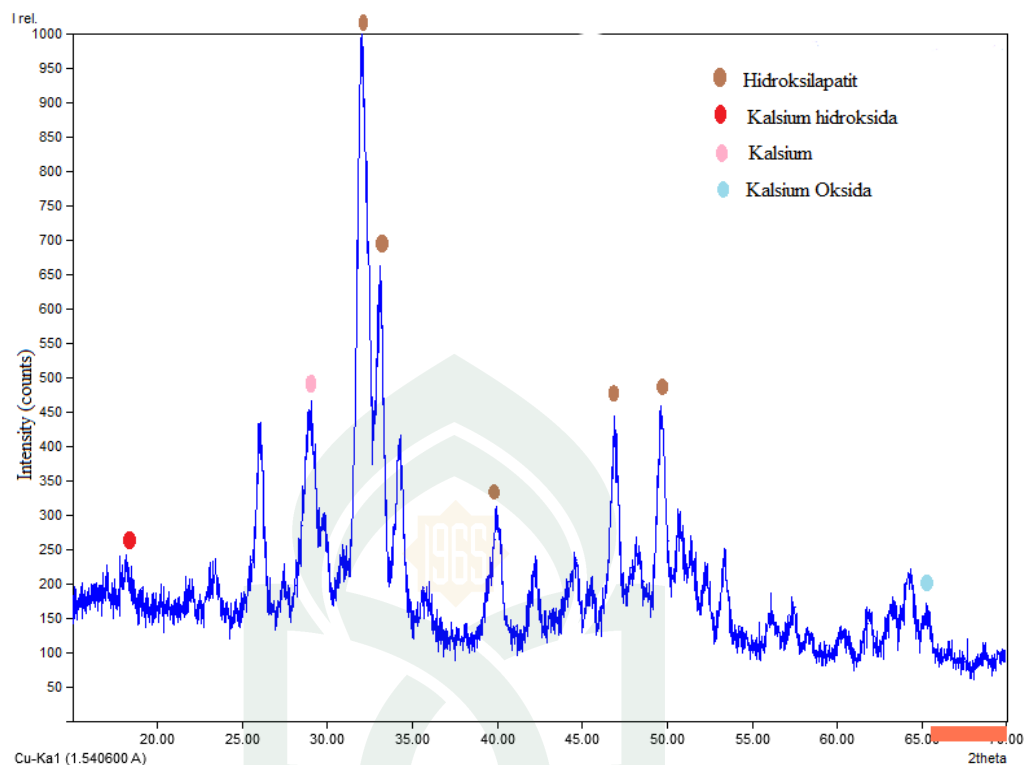
4.3 Hasil Uji X-Ray Diffraction (XRD)

Uji XRD merupakan pengujian yang menggunakan prinsip difraksi untuk mengetahui struktur kristal, fasa dan derajat kristalinitas, parameter kisi, serta dapat mengetahui jenis unsur dan senyawa yang terkandung dalam material.

Pada penelitian ini, uji XRD dilakukan untuk mengetahui struktur kristal, parameter kisi, fasa, unsur dan senyawa yang terdapat didalam hidroksiapatit yang telah dibuat. Analisis hasil XRD dilakukan dengan menggunakan *software Match* sehingga data – data yang diperoleh dapat dicocokkan dengan standar difraksi sinar-X untuk hampir semua jenis material. Standar ini disebut The Joint Committee on Powder Diffraction Standards (JCPDS).

Dari analisis hasil XRD sampel hidroksiapatit yang berasal dari cangkang telur ayam, menunjukkan mayoritas puncak yang terbentuk adalah hidroksiapatit sesuai dengan data JCPDS. Telihat pada gambar 4.2, hidroksiapatit terdapat pada

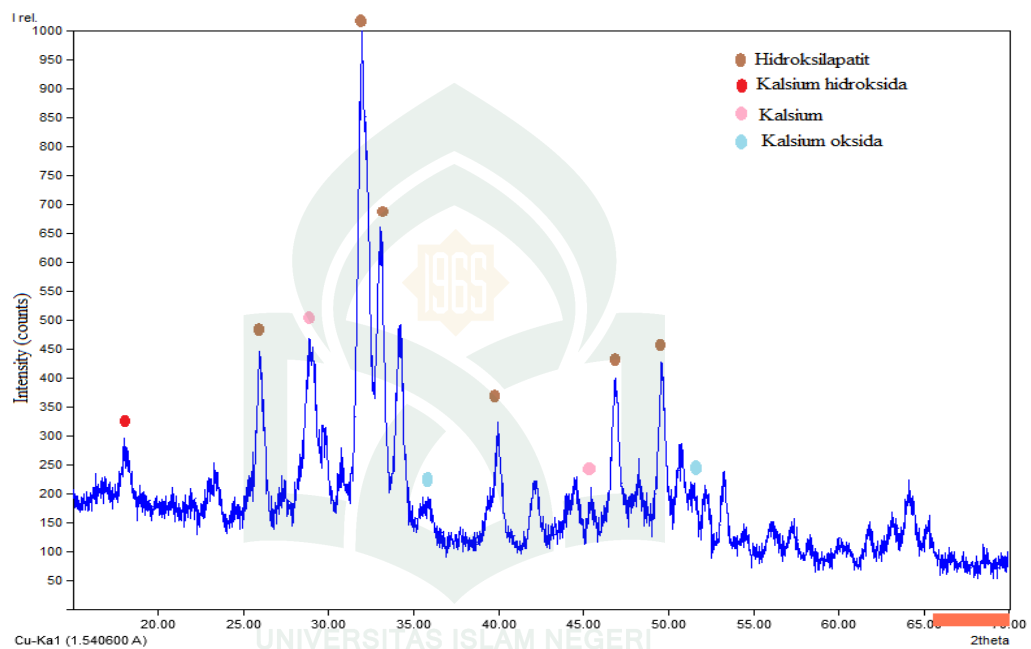
beberapa puncak dengan sudut 2θ yakni pada sudut $32,16^\circ$, $33,14^\circ$ dan $49,7076^\circ$ dengan intensitas yang cukup banyak.



Gambar 4.2 Pola XRD hidroksiapatit dari cangkang telur ayam

Setelah dilakukan perhitungan menggunakan persamaan Scherrer, diperoleh ukuran kristal hidroksiapatit pada sudut $32,16^\circ$ sebesar 10,48 nm. Pada sudut selanjutnya yakni sudut $33,14^\circ$ diperoleh ukuran kristal sebesar 14,30 nm, sedangkan pada sudut $49,7076^\circ$, ukuran kristal yang diperoleh sebesar 14,63 nm. Selain terbentuknya fasa hidroksiapatit, terdapat pula fasa kalsium oksida, kalsium hidroksida dan kalsium. Fasa-fasa ini lebih sedikit dibandingkan fasa hidroksiapatit yang mencapai 77,5% dari keseluruhan fasa. Struktur unit kristal yang terbentuk pada kristal hidroksiapatit dari cangkang telur ayam berbentuk heksagonal dengan parameter kisi $a = 9,4240 \text{ \AA}$ dan $c = 6,8790 \text{ \AA}$.

Analisis hasil XRD hidroksiapatit pada cangkang telur bebek menunjukkan beberapa unsur dan senyawa yang terkandung didalam sampel. Adapun unsur dan senyawa yang terbaca yakni kalsium (Ca), kalsium oksida (CaO), kalsium hidroksida (Ca(OH)₂), dan hidroksiapatit (HAP). Pada gambar 4.3 dapat terlihat bahwa mayoritas fasa yang terbentuk adalah hidroksiapatit dengan persentase sebesar 87,3%.



Gambar 4.2 Pola XRD hidroksiapatit dari cangkang telur bebek

Setelah dilakukan perhitungan menggunakan persamaan Scerrer diperoleh ukuran kristal hidroksiapatit pada sudut 32,1880° sebesar 11,408 nm. Selanjutnya, pada sudut 34,2403° ukuran kristal hidroksiapatit sebesar 14,9604 nm, sedangkan ukuran kristal pada sudut 49,6623° adalah 16,7624 nm. Struktur kristal hidroksiapatit berbentuk heksagonal dengan parameter kisi $a = 9,4240 \text{ \AA}$ dan $c = 6,8790 \text{ \AA}$.

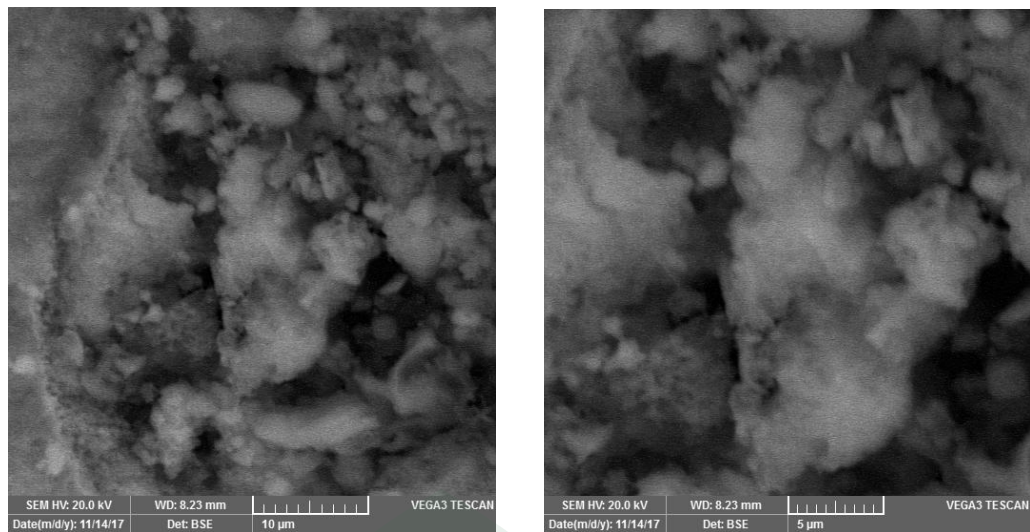
Berdasarkan hasil dari kedua sampel, nanohidroksiapatit dapat ditemui pada masing-masing. Bentuk kristal dan parameter kisi yang terdapat pada kedua sampel adalah sama. Hal yang membedakan yakni pada persentase fase hidroksiapatit. Persentase untuk cangkang telur bebek lebih tinggi dibandingkan cangkang telur ayam.

4.4 Hasil Uji SEM (*Scanning Electron Microscope*)

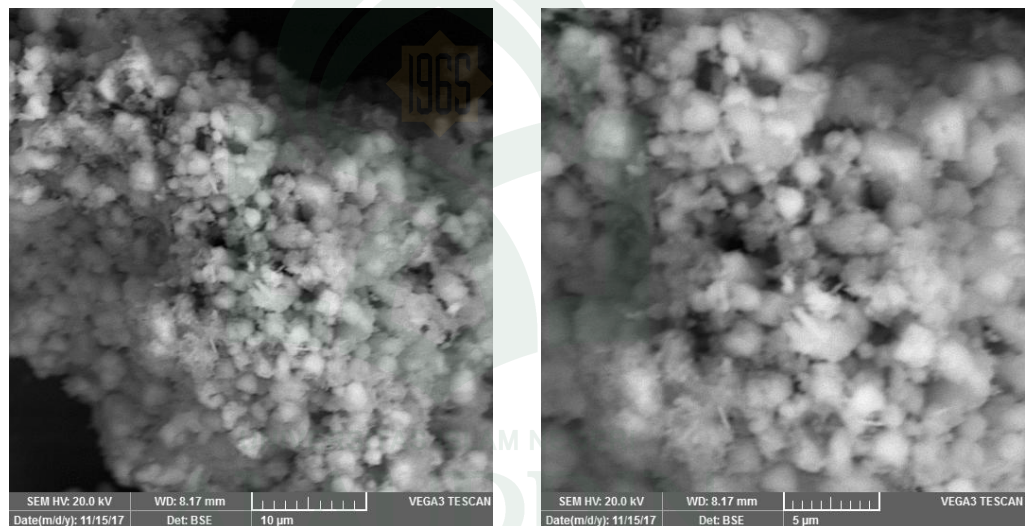
Uji SEM (*Scanning Electron Microscope*) merupakan pengujian menggunakan jenis mikroskop elektron yang mencitrakan permukaan sampel oleh pemindaian dengan pancaran tinggi elektron. Elektron yang berinteraksi dengan atom yang membentuk sampel menghasilkan sinyal yang berisi informasi tentang material dari permukaan topografi, komposisi dan sifat lainnya seperti daya konduksi listrik.

Alat yang digunakan pada uji SEM menggunakan gabungan antara SEM dan EDS atau biasa disebut SEM-EDS. EDS (*Energy Dispersive Spectrometry*) berfungsi untuk menentukan komposisi/penyusun dari suatu material yang dikarakterisasi menggunakan SEM.

Analisis SEM-EDS yang telah dilakukan pada sampel hidroksiapatit dari cangkang telur ayam dan bebek, ditunjukkan pada gambar dibawah ini :



Gambar 4.4 Sampel hidroksiapatit dari cangkang telur ayam



Gambar 4.5 Sampel hidroksiapatit dari cangkang telur bebek

Berdasarkan hasil uji SEM-EDS dengan menggunakan perbesaran 5000x untuk sampel hidroksiapatit dari cangkang telur ayam pada gambar 4.4, terlihat bentuk morfologi dari sampel adalah butiran-butiran partikel menghampiri bulat dengan ukuran partikel antara 500 nm – 5 µm, memiliki jarak antar partikel yang agak renggang. Ukuran pada partikel dipengaruhi oleh suhu yang meningkatkan energi kinetik pada atom sehingga saling berkaitan satu sama lain (teraglomerasi).

Pada hasil EDS, diperoleh komponen komposisi hidroksiapatit didominasi oleh kalsium (44,36%), oksigen (38,2%), dan fosfat (15,27%), sedangkan untuk senyawa didominasi oleh kalsium oksida (63,38%) dan difosfor pentaoksida (35%).

Tabel 4.3 Komposisi atom dan senyawa hidroksiapatit dari cangkang telur ayam

Atom	Komposisi (%)	Senyawa	Komposisi (%)
Mg	0,50	MgO	0,84
Na	0,36	Na ₂ O	0,49
P	15,27	P ₂ O ₅	35,00
K	1,07	K ₂ O	1,29
Ca	44,59	CaO	62,38
O	38,20	-	-

Berdasarkan hasil uji SEM-EDS dengan menggunakan perbesaran 5000x untuk sampel hidroksiapatit dari cangkang telur ayam pada gambar 4.5, terlihat bentuk morfologi dari sampel adalah butiran-butiran partikel bulat dengan ukuran partikel antara 300 nm – 1 µm, memiliki jarak antar partikel yang agak rapat. Butiran-butiran pada sampel terdistribusi secara merata dan antara butiran yang satu dengan yang lainnya saling bersentuhan sehingga menghasilkan bentuk yang lebih homogeny. Pada gambar juga terlihat bahwa terjadi penggumpalan (aglomerasi) akibat sifat material yang berukuran nanometer. Suhu yang tinggi meningkatkan energi kinetik atom-atom penyusun sehingga terjadi difusi dengan partikel yang berdekatan atau bersinggungan satu sama lain dan terjadi pengikatan partikel bersama. Pada hasil EDS, diperoleh komponen komposisi hidroksiapatit

didominasi oleh kalsium (56,07%), oksigen (34,08%), dan fosfat (8,85%), sedangkan untuk senyawa didominasi oleh kalsium oksida (78,46%) dan difosfor pentaoksida (20,29%).

Tabel 4.4 Komposisi atom dan senyawa hidroksiapatit dari cangkang telur bebek

Atom	Komposisi (%)	Senyawa	Komposisi (%)
P	8,85	P ₂ O ₅	20,29
K	0,88	K ₂ O	1,05
Ca	56,07	CaO	78,46
O	34,08	-	-
Mg	0,12	MgO	0,20

Pada hasil uji SEM-EDS, perbandingan antara hidroksiapatit dari cangkang telur ayam dengan cangkang telur bebek adalah ukuran partikel pada hidroksiapatit dari cangkang telur bebek lebih kecil dibandingkan hidroksiapatit pada cangkang telur ayam. Adapun pada hasil uji EDS, komponen penyusun hidroksiapatit yang mendominasi pada hidroksiapatit dari kedua sampel adalah sama yakni untuk atom di dominasi oleh unsur kalsium, oksigen dan fosfat, sedangkan untuk senyawa didominasi oleh kalsium oksida dan difosfor pentaoksida.

BAB V

PENUTUP

5.1 Kesimpulan

Adapun kesimpulan pada penelitian ini adalah sebagai berikut :

1. Hasil karakterisasi menggunakan XRD terdapat fasa hidroksiapatit. Pada cangkang telur ayam yaitu dengan ukuran kristal pada sudut $32,16^\circ$ sebesar 10,48 nm, sudut $33,14^\circ$ diperoleh ukuran kristal sebesar 14,30 nm dan sudut $49,7076^\circ$ diperoleh ukuran sebesar 14,63 nm, dengan persentase hidroksiapatit sebesar 77,5%. Pada cangkang telur bebek yaitu pada sudut $32,1880^\circ$ sebesar 11,408 nm, sudut $34,2403^\circ$ sebesar 14,9604 nm, sudut $49,6623^\circ$ adalah 16,7624 nm, dengan persentase hidroksiapatit sebesar 87,3%. Hasil karakterisasi hidroksiapatit menggunakan SEM pada cangkang telur ayam terbentuk ukuran partikel 500 nm – 5 μ m, sedangkan pada cangkang telur bebek sebesar 300 nm – 1 μ m.
2. Hasil perbandingan karakterisasi cangkang telur ayam dan cangkang telur bebek untuk ukuran kristal pada uji XRD dan ukuran partikel pada uji SEM, cangkang telur bebek lebih kecil dibandingkan cangkang telur ayam.

5.2 Saran

Berdasarkan hasil dari penelitian yang diperoleh, saran untuk penelitian selanjutnya adalah membuat komposit menggunakan hidroksiapatit yang telah didapatkan sehingga dapat diaplikasikan ke dalam sintesis tulang.

DAFTAR PUSTAKA

- Abdullah, M., Khairurrijal, (2009), "Review: Karakterisasi Nanomaterial", Jurnal Nanosains & Nanoteknologi, Vol. 2 No.1, hal.1-9
- Al-Maraghi, Ahmad Mustafa. 1974. *Tafsir Al-Maraghi*. Diterjemahkan oleh Hery Noer Aly, dkk. Semarang : PT. Karya Toha Putra Semarang.
- Ayu, Wenni dan Fitri. 2015. *Fortifikasi Kalsium Cangkang Telur pada Pembuatan Cookies (Kajian Konsentrasi Tepung Cangkang Telur dan Baking Powder)*. Jurnal Pangan dan Agroindustri Vol. 3 No 3 p.1050-1061, Juli 2015.
- Beiser, Arthur. 1992. *Konsep Fisika Modern*. Jakarta : Erlangga
- Bertazzo, S. etc . Hydroxyapatite surface solubility and effect on cell adhesion. *Colloids and Surfaces B: Biointerfaces*, 78, 2 (2010), 177-184.
- Cahyana, Agus, dkk. *Analisa SEM (Scanning Electron Microscope) pada Kaca TZN yang dikristalkan sebagian*. Jurusan Ilmu Fisika Pasca Sarjana. Semarang : Universitas Sebelas Maret. 2014.
- Callister, William. D, Jr. 2007. *Materials Science and Engineering an Introduction 7th Edition*. John Willey and Son, Inc.: Salt Lake City, Utah.
- Delie, F. dan Blanco, P.M.J. 2005. *Polymeric Particulates to Improve Oral Bioavailability of Peptide Drugs*. *Molecules*. 10. 65-80.
- Dewati, Retno. 2008. *Kinetika Reaksi Pembuatan Kalsium Karbonat dari Limbah Marmer dengan Natrium Karbonat*. Jurnal Teknik Kimia Vol.2,No.2 April 2008.
- Direktorat Jenderal Peternakan. 2013. *Produksi Telur Menurut Provinsi 2009-2013*. Direktorat Jenderal Peternakan. Kementerian Pertanian Republik Indonesia.
- Dorozhkin, S. V. Calcium Orthophosphates as Bioceramics: State of the Art. *Journal of Functional Biomaterials*, 1, 1 (2010), 22-107.
- Edi Istiyono. 2000. *Fisika Zat Padat I*. Diktat Kuliah, tidak diterbitkan, Yogyakarta. Universitas Negeri Yogyakarta.
- Hamka. 1985. *Tafsir Al-Azhar Juz X*. Jakarta : Pustaka Panjimas.
- Hargitai, R., R. Mateo, J. Torok. 2011. *Shell thickness and pore density in relation to shell colouration female characteristic, and environmental factors in the collared flycatcher *Ficedula albicollis**. *Journal. Ornithol.* 152: 579--588.

- Hastang, Lestari, dkk. 2011. *Beberapa Faktor yang Mempengaruhi Jumlah Telur Ayam Ras Oleh Konsumen di Pasar Pa'baeng-baeng*. Makassar : Jurnal agribisnis Vol. X. Makassar.
- Jamaluddin, Agus dan Darma Adiantoro. 2012. *Analisis Kerusakan X-Ray Fluorescence*. No. 09 – 10 / Tahun V. April – Oktober 2012. ISSN 1979-2409
- Junqueira, L. Carlos, dkk. 1997. *Histologi Dasar Edisi 4*. Diterjemahkan oleh: Jan Tambayong. Jakarta: EGC.
- Kalfas IH, MD, FACS. 2001. *Principles of Bone Healing*. Departement of Neurosurgery, Section of Spinal Surgery, Cleveland Clinic Foundation: Cleveland- Ohio.
- Leng, Y. *Materials Characterization: Introduction to Microscopic and Spectroscopic Methods*. John Wiley & Sons (Asia) Pte Ltd, City. 2008.
- Nasar, Muhammad, dkk. 2013. *Pembuatan CaO dari Cangkang Telur sebagai Katalis untuk Konveksi Minyak Kelapa menjadi Biodiesel*. Proseding Seminar Nasional dan Pendidikan Sains.
- Noviyanti, dkk. 2015. *Karakterisasi Kalsium Karbonat (CaCO₃) dari Batu Kapur Kelurahan Tellu Limpoe Kecamatan Suppa*. Jurnal Sains dan Pendidikan Fisika Jilid 11, Nomor 2 hal : 169 – 172
- Poedjiadi, A. dan F.M. T. Supriyanti. 2005. *Dasar-dasar Biokimia*. Jakarta: UI-Press
- Rama, Bahaking dan Khaerani. 2010. *Ilmu Lingkungan Ternak*. Makassar : Alauddin Press.
- Rachmawati H., Reker-Smit C., Hooge M. N. L., Loenen-Weemaes A. M. V., Poelstra K., Beljaars L. 2007. *Chemical Modification of Interleukin-10 with Mannose 6- Phosphate Groups Yields a Liver-Selective Cytokine*. DMD. 35: 814-821
- Rawat, M., D. Singh, S. Saraf. 2006. *Nanocarriers: Promising Vehicle for Bioactive Drugs*. Biol. Pharm. Bull. 29(9) 1790-1798
- Rose, S P, 1997. *Prinsiples of Poultry Sciences*. London : Harper Adams Agricultural Collag.
- Sastrohamodjojo, Hadjono. 1991. *Spektroskopi*. Yogyakarta : Liberty.
- Shihab, M. Quraish. 2002. *Tafsir Al-Misbah: Pesan, Kesan dan Keserasian Al-Qur'an*. Jakarta : Lentera Hati.

- Slósarczyk, A., Paszkiewicz, Z. and Paluszkiewicz, C. FTIR and XRD *evaluation of carbonated hydroxyapatite powders synthesized by wet methods. Journal of Molecular Structure*, 744-747(2005), 657-661
- Smallman, R.E. 1991. *Metalurgi Fisik Modern, Edisi 4*. Jakarta : Gramedia
- Sumardi, Yoshapat. (2008). *Fisika Zat Padat 1*. Handout Kuliah, Tidak diterbitkan. Yogyakarta. Universitas Negeri Yogyakarta.
- Susilawaty, Andi. 2014. *Dasar – dasar Kesehatan Lingkungan (Seri Integrasi Islam Kesehatan)*. Makassar : Alauddin Press.
- Sofyan, Bondan.T. 2007. *Cristallography. Lecture Notes. Department of Metallurgy and Materials Engineering, Faculty of Engineering, University of Indonesia* : Depok
- Syaifuddin. 2012. *Anatomi Fisiologi : Kurikulum Berbasis Kompetensi untuk Keperawatan & Kebidanan, Ed.4*. Jakarta : Penerbit Buku Kedokteran EGC.
- Wasito dan E. S. Rohaeni. 1994. *Beternak Itik Alabio*. Yogyakarta : Yayasan Kanisius.
- Winarno FG. 2010 *Nanoteknologi Bagi Industri Pangan dan Kemasan Ed ke-1*. Bogor (ID): M-Brio Pr.

BIOGRAFI PENULIS



NURSANDI SANDEWI, dilahirkan di kabupaten Wajo tepatnya di Kecamatan Tempe Kelurahan Mattirotappareng pada hari senin tanggal 10 April 1995. Anak pertama dari tiga bersaudara buah hati dari pasangan Misbahuddin dan Nurwahidah. Peneliti menyelesaikan pendidikan sekolah dasar di SDA No.9 Tae di Kecamatan Tempe Kabupaten Wajo pada tahun 2008. Pada tahun yang sama, penulis melanjutkan pendidikannya di SMP Negeri 2 Sengkang dan tamat pada tahun 2010. Setelah itu, penulis kembali melanjutkan pendidikannya di SMA Negeri 2 Sengkang dan tamat pada tahun 2013. Selama masa sekolah, penulis mengikuti beberapa organisasi yang terdapat di sekolah SMP maupun SMAnya.

Tak sampai disitu, penulis melanjutkan kembali pendidikannya ke jenjang yang lebih tinggi lagi yakni pada tingkat universitas tepatnya di Universitas Islam Negeri Alauddin Makassar (UINAM). Penulis mengambil prodi Fisika di Fakultas Sains dan Teknologi. Selama masa kuliah, penulis pernah masuk dalam Himpunan Mahasiswa Jurusan (HMJ) Fisika dan LPPM AL-Kindi. Penulis menyelesaikan kuliah strata 1 (S1) pada tahun 2017 dan melewati masa kuliah selama 4 tahun 3 bulan.

LAMPIRAN-LAMPIRAN



UNIVERSITAS ISLAM NEGERI
ALAUDDIN
M A K A S S A R



LAMPIRAN I
HASIL PENELITIAN

UNIVERSITAS ISLAM NEGERI
ALAUDDIN
M A K A S S A R

2017-10-12 11:51

ThermoFisher-XRF/UniQuant Analysis Report
 SAMPLE ANALYSIS REPORT
 ARL QUANT'X EDXRF ANALYZER

THERMO FISHER SCIENTIFIC
 UNIQUANT(TM) STANDARDLESS METHOD

C:\UQed\USER\Quant'X\JOB\JOB.461
Sample ident = 900CgkangTelurAyam

El	m/m%	StdErr
Ca	99.70	0.18
Px	0.175	0.039
Cu	0.067	0.018
Ti	0.0204	0.0097
Nb	0.0100	0.0029
Sb	0.0063	0.0010
Mo	0.0063	0.0026
In	0.0062	0.0008
Sn	0.0052	0.0010

KnownConc= 0 REST= 0 D/S= 0
 Sum Conc's before normalisation to 100% : 39.1 %

2017-10-12 11:52

ThermoFisher-XRF/UniQuant Analysis Report
 SAMPLE ANALYSIS REPORT
 ARL QUANT'X EDXRF ANALYZER

THERMO FISHER SCIENTIFIC
 UNIQUANT(TM) STANDARDLESS METHOD

C:\UQed\USER\Quant'X\JOB\JOB.461
Sample ident = 900CgkangTelurAyam

Compound	m/m%	StdErr	El	m/m%	StdErr
CaO	99.57	0.16	Ca	71.19	0.11
P2O5	0.329	0.073	Px	0.144	0.032
CuO	0.053	0.014	Cu	0.042	0.011
TiO2	0.021	0.010	Ti	0.0128	0.0061
Nb2O5	0.0088	0.0027	Nb	0.0062	0.0019
MoO3	0.0058	0.0026	Mo	0.0039	0.0017
Sb2O3	0.0052	0.0009	Sb	0.0043	0.0008

KnownConc= 0 REST= 0 D/S= 0
 Sum Conc's before normalisation to 100% : 45.7 %

2017-10-12 12:06

ThermoFisher-XRF/UniQuant Analysis Report
 SAMPLE ANALYSIS REPORT
 ARL QUANT'X EDXRF ANALYZER

THERMO FISHER SCIENTIFIC
 UNIQUANT(TM) STANDARDLESS METHOD

C:\UQed\USER\Quant'X\JOB\JOB.462
Sample ident = 900C#cgkgTelurBebek

El	m/m%	StdErr
Ca	99.27	0.19
Px	0.304	0.041
Si	0.22	0.11
Sr	0.138	0.042
Nb	0.0178	0.0027
Cr	0.0177	0.0088
Mo	0.0128	0.0025
Sb	0.0061	0.0011
Ru	0.0058	0.0019
Sn	0.0054	0.0011
In	0.0051	0.0009

KnownConc= 0 REST= 0 D/S= 0
 Sum Conc's before normalisation to 100% : 39.1 %

2017-10-12 12:07

ThermoFisher-XRF/UniQuant Analysis Report
 SAMPLE ANALYSIS REPORT
 ARL QUANT'X EDXRF ANALYZER

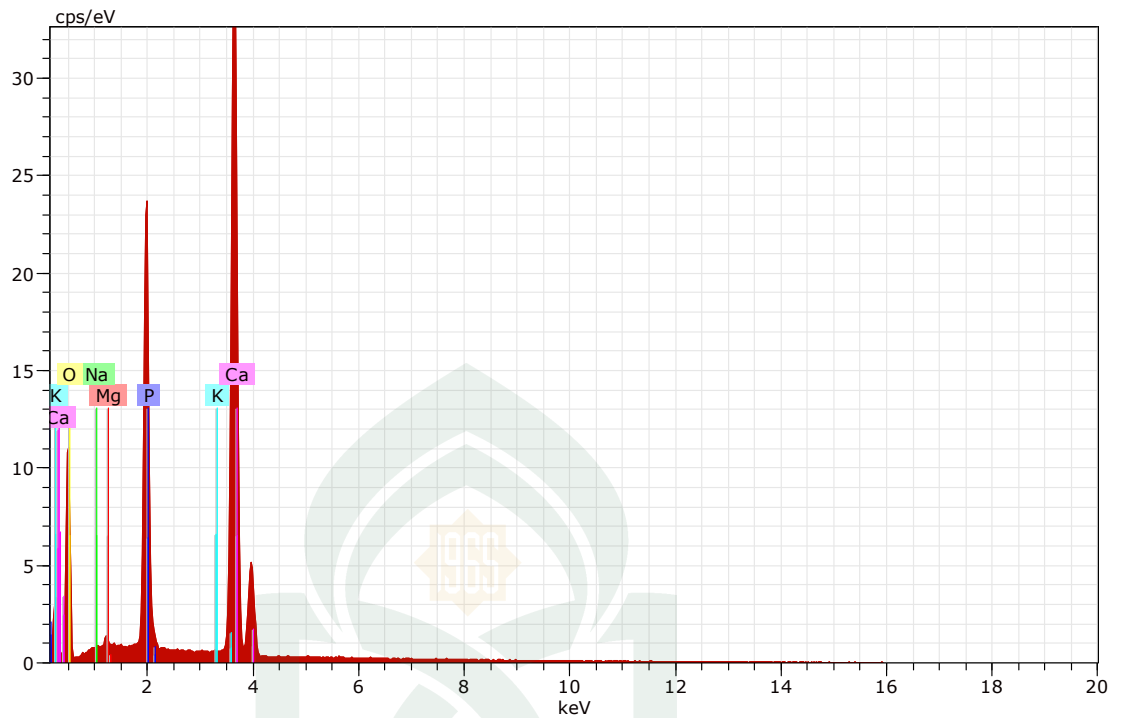
THERMO FISHER SCIENTIFIC
 UNIQUANT(TM) STANDARDLESS METHOD

C:\UQed\USER\Quant'X\JOB\JOB.462
Sample ident = 900C#cgkgTelurBebek

Compound	m/m%	StdErr	El	m/m%	StdErr
CaO	98.87	0.21	Ca	70.69	0.15
P2O5	0.564	0.076	Px	0.246	0.033
SiO2	0.40	0.19	Si	0.187	0.090
SrO	0.102	0.031	Sr	0.086	0.026
Cr2O3	0.0162	0.0080	Cr	0.0111	0.0055
Nb2O5	0.0158	0.0025	Nb	0.0110	0.0017
MoO3	0.0119	0.0024	Mo	0.0079	0.0016

KnownConc= 0 REST= 0 D/S= 0
 Sum Conc's before normalisation to 100% : 45.7 %

Hasil Uji EDS (Sampel A)

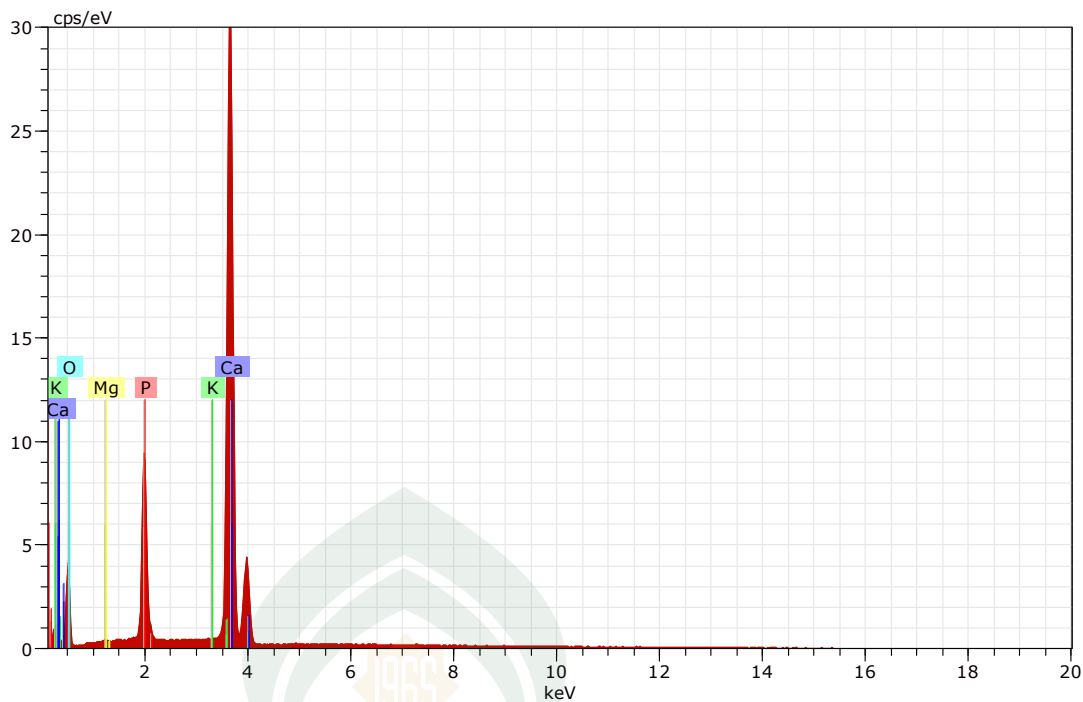


Spectrum: Acquisition

Element	unn. C [wt.%]	norm. C [wt.%]	Atom. C [at.%]	Compound	norm. Comp. C [wt.%]	Error (3 Sigma) [wt.%]
Magnesium	0.43	0.50	0.51	MgO	0.84	0.17
Sodium	0.31	0.36	0.39	Na ₂ O	0.49	0.16
Phosphorus	13.06	15.27	12.15	P ₂ O ₅	35.00	1.61
Potassium	0.92	1.07	0.68	K ₂ O	1.29	0.18
Calcium	38.13	44.59	27.42	CaO	62.38	3.44
Oxygen	32.67	38.20	58.85		0.00	12.80

Total:	85.52	100.00	100.00			

Hasil Uji EDS (Sampel A)



Spectrum: Acquisition

Element	unn. C [wt.%]	norm. C [wt.%]	Atom. C [at.%]	Compound	norm. Comp. [wt.%]	Error (3 Sigma) [wt.%]
Phosphorus	7.01	8.85	7.44	P2O5	20.29	0.91
Potassium	0.69	0.88	0.58	K2O	1.05	0.15
Calcium	44.36	56.07	36.42	CaO	78.46	3.98
Oxygen	26.96	34.08	55.43		0.00	11.38
Magnesium	0.09	0.12	0.13	MgO	0.20	0.10
Total:	79.11	100.00	100.00			

UNIVERSITAS PALANGNEGARA
1969
ALAUDDIN
MAKASSAR

LAMPIRAN II

(ANALISIS DATA)

UNIVERSITAS ISLAM NEGERI
ALAUDDIN
M A K A S S A R

ANALISIS DATA

Ukuran kristal dapat diketahui dengan menggunakan persamaan Scherrer :

$$D = \frac{k \lambda}{\beta \cos \theta}$$

Ket : D = ukuran kristal (nm)

k = konstanta (0,98)

λ = panjang gelombang (1,54 Å)

β = *Full Width at Half Maximum*FWHM (rad)

θ = sudut difraksi (rad)

Diketahui :

$$k = 0,98$$

$$\lambda = 1,54 \text{ \AA}$$

$$\beta = \frac{0,60820}{180} 3,14 = 0,010609711 \text{ rad}$$

$$\theta = \frac{26,0870}{2} = 13,0435^\circ$$

Ditanyakan : D = ? 0,974198997

Penyelesaian :

$$D = \frac{k \lambda}{\beta \cos \theta}$$

$$D = \frac{(0,98)(1,54)}{(0,010609711)\cos (13,0435)}$$

$$D = \frac{1,5092}{(0,010609711)(0,974198997)}$$

$$D = \frac{1,54092}{0,0103359698}$$

$$D = 14,60143568 \text{ nm}$$

1. Analisis Data Hasil Uji XRD pada Cangkang Telur Ayam

NO.	2θ (deg)	θ (deg)	FWHM (deg)	β	Cos θ	D
1	18,24	9,12	0,6	0,010466667	0,987358539	14,60372065
2	22,015	11,0075	0,49	0,008547778	0,981602198	17,9869717
3	23,395	11,6975	0,67	0,011687778	0,979231658	13,18649594
4	25,34	12,67	0,32	0,005582222	0,975649521	27,71059426
5	26,087	13,0435	0,6082	0,010609711	0,974198997	14,60143568
6	27,515	13,7575	0,43	0,007501111	0,971310948	20,71394954
7	29,0525	14,52625	0,915	0,015961667	0,968032827	9,767388773
8	29,82	14,91	0,664	0,011583111	0,966331186	13,48328078
9	30,98	15,49	0,7866	0,0137218	0,96367708	11,41311469
10	32,1605	16,08025	0,8629	0,015052811	0,960874688	10,43427867
11	33,14	16,57	0,6314	0,011014422	0,958472029	14,2957068
12	34,275	17,1375	0,65	0,011338889	0,955600361	13,92836027
13	35,83	17,915	0,7	0,012211111	0,951513905	12,98902265
14	39,954	19,977	0,828	0,014444	0,939829841	11,11757548
15	42,2233	21,11165	0,6333	0,011047567	0,932880317	14,64381506
16	44,466	22,233	0,868	0,015141778	0,925652811	10,76767166
17	45,535	22,7675	0,49	0,008547778	0,922082815	19,14801
18	46,9448	23,4724	0,6438	0,011230733	0,91725205	14,65041713
19	48,1833	24,09165	0,9533	0,016629789	0,912893676	9,941224059
20	49,7076	24,8538	0,6513	0,011361567	0,907383218	14,63921646
21	50,78	25,39	0,8134	0,014189311	0,903410142	11,7733627
22	51,52	25,76	0,6	0,010466667	0,900622401	16,0101595
23	52,32	26,16	0,56	0,009768889	0,89756638	17,21214712
24	53,401	26,7005	0,542	0,009454889	0,893367467	17,86735366
25	56,205	28,1025	0,65	0,011338889	0,882106313	15,08882308
26	57,3891	28,69455	0,6717	0,011717433	0,877191839	14,68316648
27	58,34	29,17	0,52	0,009071111	0,8731774	19,05389744
28	60,36	30,18	0,68	0,011862222	0,864450336	14,71772532
29	61,885	30,9425	0,63	0,01099	0,857683743	16,01112787
30	63,24	31,62	0,72	0,01256	0,851543977	14,11074929
31	64,2433	32,12165	0,8067	0,014072433	0,846921065	12,66294329
32	65,3	32,65	0,6	0,010466667	0,84198191	17,12519961

2. Analisis Data Hasil Uji XRD pada Cangkang Telur Bebek

NO.	2 θ (deg)	θ (deg)	FWHM (deg)	β	Cos θ	D
1	16,8	8,4	1,2	0,020933333	0,989272333	7,287735
2	18,1775	9,08875	0,915	0,015961667	0,987444842	9,575373
3	22,07	11,035	0,34	0,005931111	0,981510442	25,92482
4	23,3558	11,6779	0,7383	0,012879233	0,979300956	11,96577
5	25,4	12,7	0,52	0,009071111	0,975534544	17,05468
6	26,0438	13,0219	0,579	0,010100333	0,974284011	15,33647
7	27,3875	13,69375	0,565	0,009856111	0,971574949	15,76032
8	29,0262	14,5131	0,8475	0,014784167	0,968090369	10,5447
9	29,82	14,91	0,5666	0,009884022	0,966331186	15,80109
10	30,84	15,42	0,5734	0,010002644	0,964002649	15,65142
11	32,118	16,059	0,7889	0,013761922	0,96097735	11,41181
12	33,1	16,55	0,6164	0,010752756	0,95857152	14,64207
13	34,2403	17,12015	0,6051	0,010555633	0,955689546	14,96048
14	35,79	17,895	0,88	0,015351111	0,951621222	10,33101
15	39,54	19,77	0,64	0,011164444	0,941058003	14,36459
16	39,989	19,9945	0,6447	0,011246433	0,939725448	14,28009
17	42,2108	21,1054	0,5917	0,010321878	0,932919602	15,6727
18	44,4253	22,21265	0,8373	0,014606233	0,925787141	11,16085
19	45,552	22,776	0,436	0,007605778	0,922025393	21,52089
20	46,9356	23,4678	0,5953	0,010384678	0,917284025	15,84346
21	48,26	24,13	0,7734	0,013491533	0,912620251	12,25732
22	49,6623	24,83115	0,5687	0,009920656	0,907549301	16,7624
23	50,8075	25,40375	0,735	0,012821667	0,903307217	13,03067
24	51,48	25,74	0,56	0,009768889	0,900774051	17,15085
25	52,263	26,1315	0,466	0,008129111	0,897785571	20,67908
26	53,31	26,655	0,48	0,008373333	0,893724007	20,16717
27	54,485	27,2425	0,49	0,008547778	0,889077069	19,85885
28	56,175	28,0875	0,75	0,013083333	0,882229604	13,07515
29	57,3283	28,66415	0,5567	0,009711322	0,877446468	17,71119
30	58,3216	29,1608	0,4633	0,008082011	0,873255651	21,38385
31	60,28	30,14	0,84	0,014653333	0,864801089	11,90952
32	61,825	30,9125	0,51	0,008896667	0,857952848	19,77225
33	63,22	31,61	0,76	0,013257778	0,851635468	13,36664
34	64,2083	32,10415	0,7233	0,012617567	0,847083429	14,12034
35	65,2566	32,6283	0,6067	0,010583544	0,84218618	16,93197

LAMPIRAN III
(PROSEDUR KERJA)

UNIVERSITAS ISLAM NEGERI
ALAUDDIN
M A K A S S A R

1. Alat dan bahan



Gambar 3.1: Cangkang telur ayam



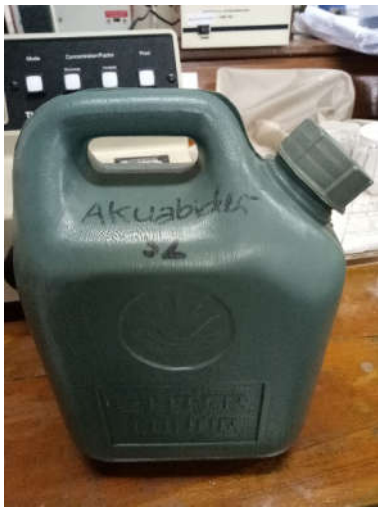
Gambar 3.2 : Cangkang telur bebek



Gambar 3.3 : Bahan kimia $(\text{NH}_4)_2\text{HPO}_4$



Gambar 3.4 : Aquades



Gambar 3.5 : Aquabide



Gambar 3.6 : Aluminium foil



Gambar 3.7 : Gelas kimia



Gambar 3.8 : Erlenmeyer



Gambar 3.9 : Mortar



Gambar 3.10 : Selang infus



Gambar 3.11 : Sendok tanduk



Gambar 3.12 : Sendok kimia



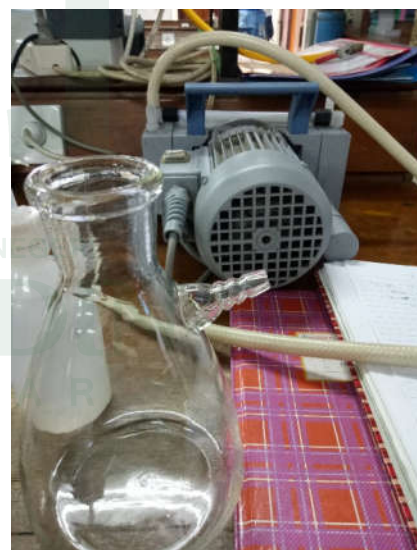
Gambar 3.13 : Cawan porselin



Gambar 3.14 : Batang pengaduk



Gambar 3.15 Neraca analitik



Gambar 3.16 : Pompa vakum



Gambar 13.17 : Kertas Whatman 42



Gambar 13.18 : Corong



Gambar 3.19 : Oven



Gambar 3.20: Furnace



Gambar 3.21 : *Magnetic stirrer*



Gambar 3.22 : *Ultrasonikasi*



Gambar 3.23 : *X-Ray Fluorescence*



Gambar 3.23 : *X-Ray Diffraction*

2. Prosedur Kerja



(a)



(b)

Gambar 3.24 cangkang telur yang telah dibersihkan dan dikeringkan dalam suhu ruangan; (a)cangkang telur itik, (b) cangkang telur ayam



Gambar 3.25 proses pengeringan



Gambar 3.26 Proses kalsinasi



Gambar 3.27 penggerusan cangkang telur yang telah dikalsinasi





Gambar 2.28 hasil ultrasonikasi



Gambar 2.29 Proses penyaringan



Gambar 2.30 Menimbang massa sampel



Gambar 2.31 CaO dan $(\text{NH}_4)_2\text{HPO}_4$ yang telah ditimbang



Gambar 2.32 Pelarutan sampel dengan aquades



Gambar 2.34 Proses presipitasi



Gambar 3.35 Pendedapan hasil presipitasi selama 1 malam



Gambar 3.36 Proses penyaringan



Gambar 3.37 Hasil penyaringan



Gambar 3.38 Hasil akhir hidroksiapatit yang telah dikeringkan